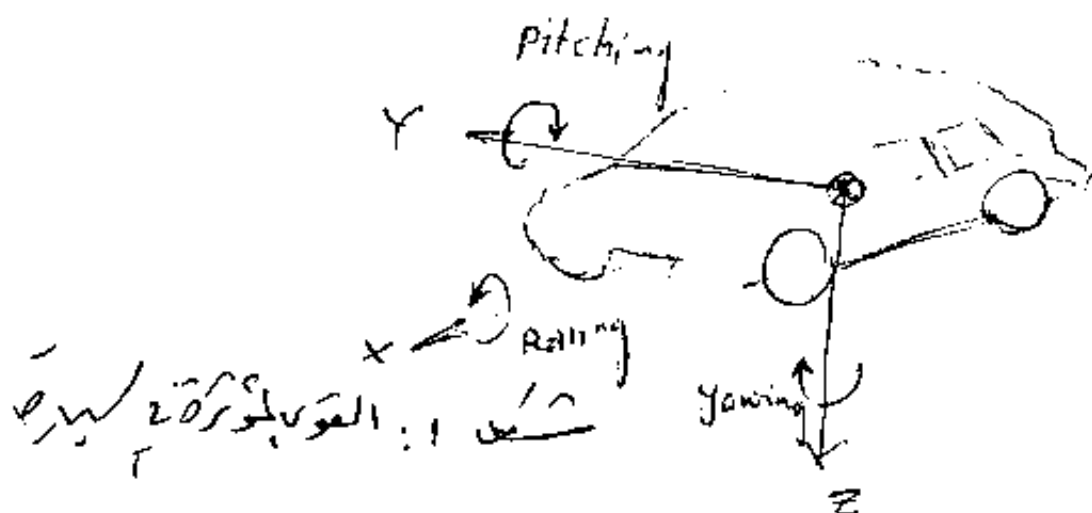
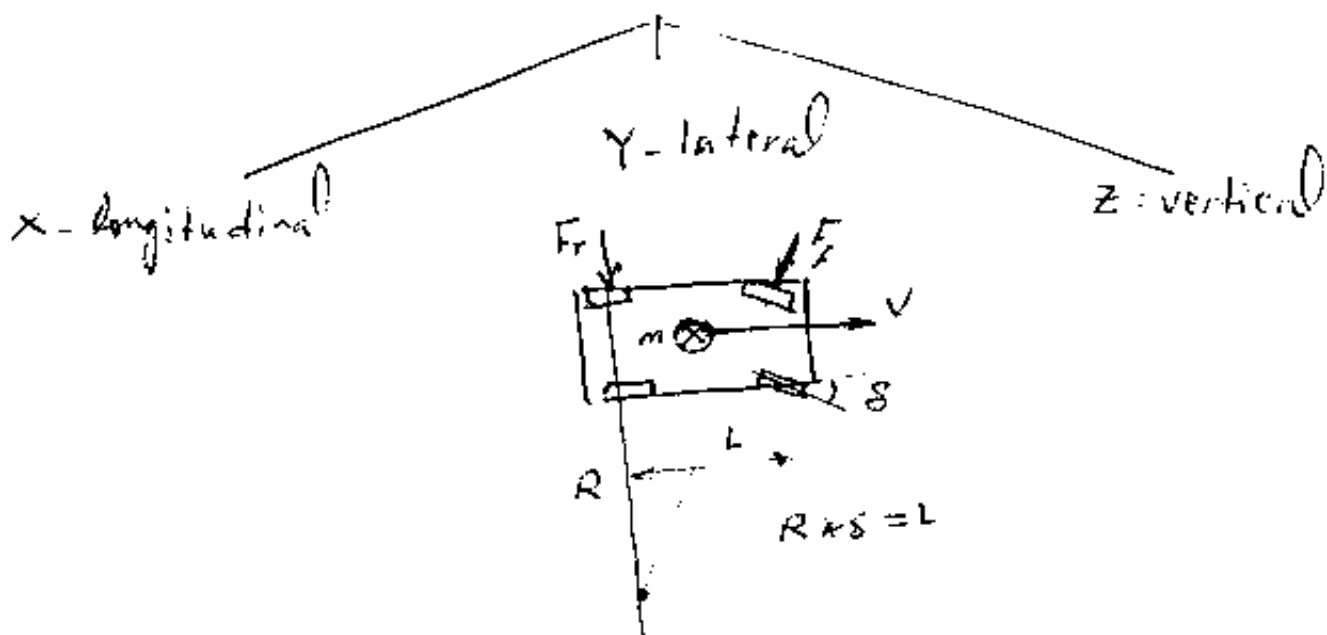


ديناميك سيارات (المرحلة الرابعة)

نظري : 2 ساعة / أسبوع
عملي : 1 ساعة / أسبوع
مناقشة : 1 ساعة / أسبوع
المفردات

الوحدات 5
عدد الأسابيع

- | | |
|---|--|
| 1 | 1- مقدمة في استدارة السيارة |
| 1 | 2- نظرية استدارة السيارات |
| 1 | 3- انقلاب السيارات أثناء الاستدارة |
| 1 | 4- انزلاق السيارات أثناء الاستدارة |
| 2 | 5- مسائل في استدارة ، انقلاب وأنزلاق السيارات |
| 1 | 6- الديناميكا العرضية |
| 1 | 7- القوى الجانبية للأطارات – زوايا الأنزلاق والحمل |
| 5 | 8- التعجيل الجانبي وعزم التصور الذاتي
- السلوك الترددي
- الأهتزازات الحرة
- سلوكيات المركبة (المحايدة ، السالبة ، الموجبة) |
| 2 | 9- استجابة الأنسان للأهتزازات العمودية
- اهتزاز المركبة إذا كانت ذو درجة حرية حركة واحدة
- الأهتزازات الحرة
- الأهتزازات العسرية |
| 1 | 10- الأهتزازات لدرجتين من حرية الحركة للسيارات |
| 2 | 11- السلوك التوافقي لعدم استوائية الطريق |
| 1 | 12- مقاييس العوم والأمان - راحة المسير |
| 6 | 13- الأهتزاز الشاقولي Vertical Vibration
- المعادلات الحركية ، الدوال التحويلية
- الترددات الطبيعية ، الخصائص الأحصائية
- تأثير معالم المنظومة
- تعليق المقاعد على نوابض
- التركيب على نوابض غير خطية |
| 2 | 14- الأنعطاف – الأهتزاز الأنعطافي Rolling vibration
- المعادلات الحركية
- القوى الحركية
- اهتزاز محاور الدواليب
- الكثافة الطيفية للقوى الحركية |
| 1 | 15- التآرجح – الأهتزاز التآرجحي Pitchinh vibration |



من حيث الحركة: العوامة، الدوران، التواء

نوع حركة سير المركبات الارضية فهو من المظهرين الدوران والتواء والتواء - دوران
 حركة الحركة الثلاثية على العكس وهذا

- longitudinal motion
- lateral motion
- vertical motion
- Rolling motion
- Pitching motion
- yawing motion

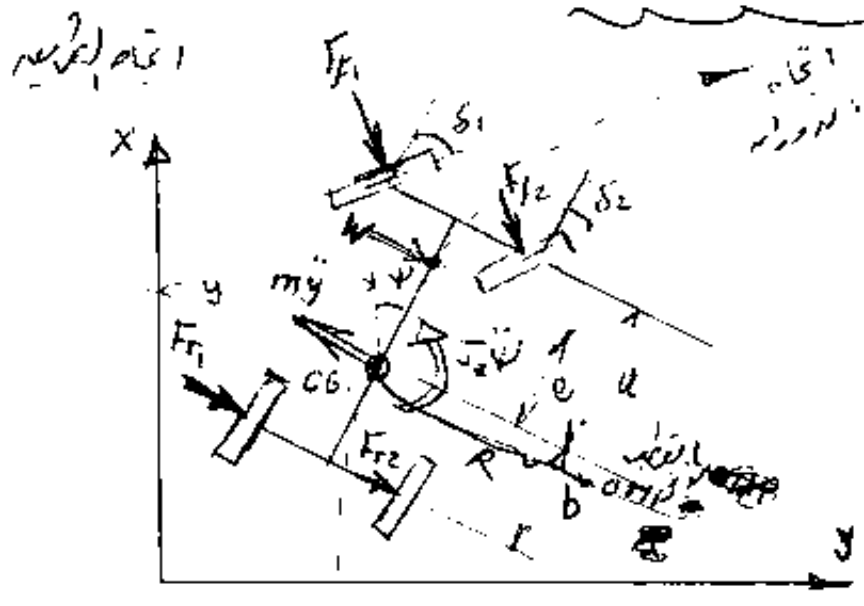
- 1- الحركة الطولية باتجاه محور X
- 2- الحركة العرضية الكائنية باتجاه Y
- 3- الحركة الدورانية (الانحراف) باتجاه Z
- 4- الحركة العرضية حول X
- 5- الحركة التوائية حول Y
- 6- الحركة الانعكاسية حول Z

ففي حالة الديناميكا العرضية التي يشار إليها بهذا الشكل نلتزم بما يلي:

- حركة السيارة الجانبية باتجاه المحور (y) والنزول حول المحور العمودي (z) المار بمركز ثقلها.

أي يتلوه بحسب السيارة فقط وبعيداً عن حركة الحركة.

* نموذج لاستدارة السيارة في منطف

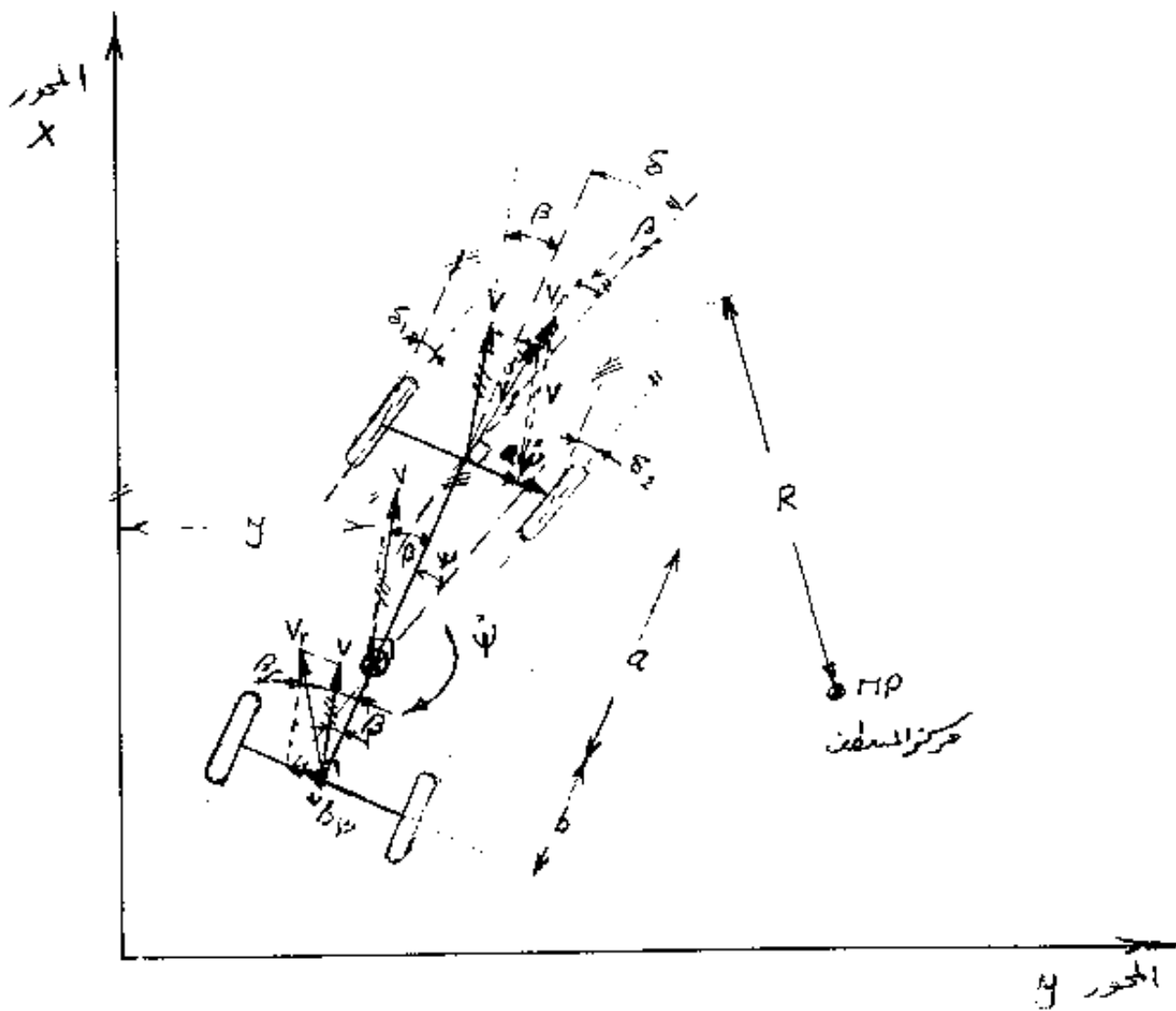


شكل 2 :
القوى والعزم المؤثرة في سيارة
عند الاستدارة في منطف.
درجتين من حركة الحركة في الارتفاع
الكتلة m والنزول حول المحور العمودي
شريحة ψ .

في شكل اللاحق 2 نتحدد شتراً على سيارة تيرد للاجانب حسيو
باتجاه المحور x . ونتيجة لتأثير زاوية استدارة المركبتين اللاحقتين (δ_1, δ_2) .
في حالة الاستدارة في منطف مثلاً او نتيجة لتأثير كمنصة (تور) الجانبية للرياح (W) .
تتولد سيارة عن الاتجاه (x) عمدة الدراسة (y) وتدور حول مركز ثقلها
برادية ψ .

ان تركيب المركبتين اللاحقتين (y) والديناميكية (ψ) معاً لسيارة استدارة لسيارة
هوك مايسمى بالتعصب اللاتي (MP) - نسبة قطر (R) ونتيجة لذلك تؤثر قوة
لمارحة للارضية $(m\ddot{y})$ في مركز ثقل سيارة CG . والذم $J\ddot{\psi}$
حسب -

\ddot{y} - lateral acceleration
 m - ~~weight~~ vehicle's mass



شكل 3 : العلاقات الرياضية للسرعة في المحور الدوراني ψ والحلقة ψ_m ونجس مركز الشد ψ خلال الاستقامة في نقطة ψ ودرجته ψ مع حرية الحركة (الوضعية الحثائية ψ) والدوران حول مركز الشد ψ (حرية ψ)

$$\sin(\phi) = \phi \quad [\text{rad}]$$

$$\cos(\phi) = 1$$

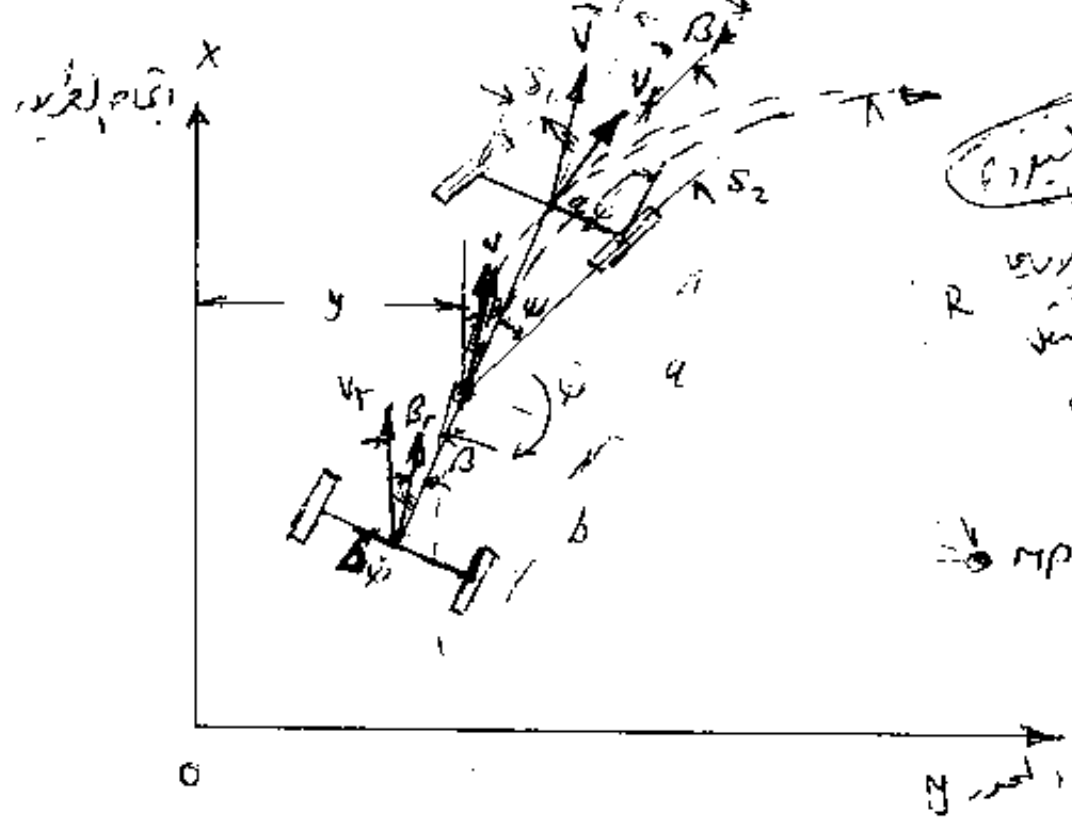
بالمعنى ارتفاع حركة السطح عند لا يزن (h) تليها . بحيث لا يؤثر عزم القوة الكهرومغناطيسية (mgh) الناتجة من الاستدارة في الحمل على الأحاديث الأخرى والتي يجب ولا يؤثر في صيرورة صيرورة السيارة . بعد الأخذ بالفرضيات المذكورة الملائمة عند كتابة معادلات توازن جميع القوى المؤثرة في الاتجاه العرضي (y) كما يأتي :

$$S_f + S_r + W - m\ddot{y} = 0 \quad [N] \quad \text{--- (1) (4)}$$

وتكون معادلات توازن العزم حول مركز السطح (CG) :

$$S_f \cdot a - S_r \cdot b + W \cdot e - J_z \ddot{\psi} = 0 \quad [Nm] \quad \text{--- (2) (5)}$$

في السطح القادم شاهد من منظور علوي لاستدارة السيارة حول المحور



الاتجاه MP
 (الارتفاع في الارتفاع الجانبي)
 في السطح القادم شاهد من منظور علوي لاستدارة السيارة حول المحور
 R
 في السطح القادم شاهد من منظور علوي لاستدارة السيارة حول المحور
 MP
 في السطح القادم شاهد من منظور علوي لاستدارة السيارة حول المحور

(5)

وكذلك ان كان للسرعة الكمية في المحور الكلي V_r

$$\vec{V}_r = \vec{V} + b\vec{\omega}$$

$$\beta = \delta + \beta - \frac{a \psi}{v}$$

$$\beta_r = \beta + \frac{h \psi}{v}$$

(*) القول الكائنة للوحات ... زوايا الارزلة واكمل

تتأثر القوة الكائنة للوحات بعدة عوامل منها لزوجة الارزلة واكمل

العوامل الناتج من درجة سيادة المؤثرات لدرجة الارزلة

ومما شغل لزوجة شغل هذه العلامة بين القوة الكائنة (S) ودرجة

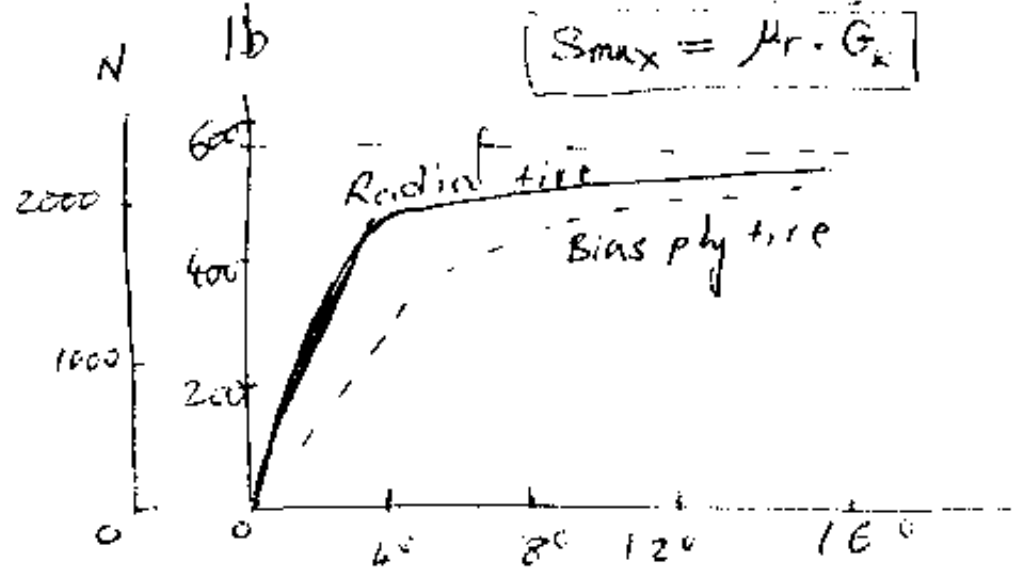
الارزلة β في حالة ثبوت اكمل (G) لتوزيع اللزوجة ان تزداد لقوة

(S) تزداد البرادية (β) وتغير العلوقة بينها خطية الى حدود (4°)

تقريباً ولقد تزداد لقوة لثقل اقل ان يصل حدودها لتأثر

بالارزلة ارضاً جانبياً

$$S_{max} = \mu_r \cdot G_k$$



β زاوية الارزلة

شغل 4: علامة لقوة الكائنة للوحات S باكمل للوحات (G_k)

بخاصة ثبوت β

حيث m - معامل التصاق بين الدعام والسطح -

إذا كانت زاوية الانزلاق قليلة المقدار، يمكن عندئذ تقديرات المعامل (دون التمييز للمحورين الأماميين والخلفيين):

$$S_f = \frac{C_{xf}}{K_f} \cdot \beta_f \quad [N] \quad (5)$$

$$S_r = \frac{C_{xr}}{K_r} \cdot \beta_r \quad [N] \quad (6)$$

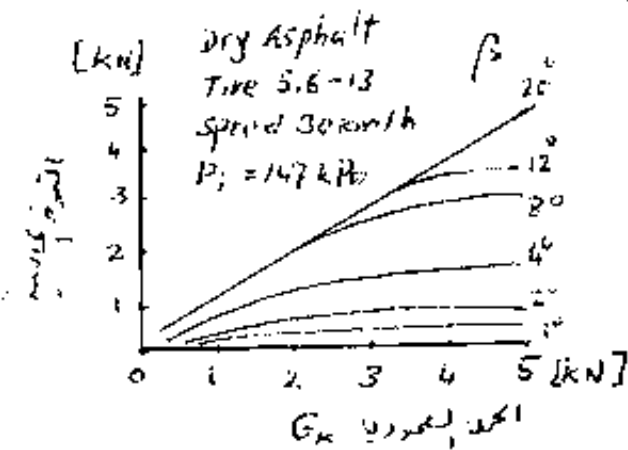
C_{xf} - القوة الجاذبة للأمامية
 C_{xr} - القوة الجاذبة للخلف

β_f [rad]
 β_r [rad]

في الشكل 5 نشاهد العلاقة بين القوة الجاذبة (S) والحمل (G_k)

في حالة ثبوت زاوية الانزلاق β ، يتجمع من شكلنا (علاقة بينهما غير خطية) وبخاصة للزوايا القليلة المقدار، لذلك فإنه تأثير الحمل المتكافئ في العلاقات الخارجية عنها كما لا يحدث في الحالة المثالية نتيجة للاستدارة في منحنى التغير في مجموع القوى الجاذبة الخلفية.

S_f و S_r شكل هندسي ويمكن اعتبارهما ثابتين في حالة ثبوت زاوية الانزلاق $\beta_f = \beta_r$



شكل 5: علاقة القوة الجاذبة للخلفية (S) بالحمل للزوايا G_k

في حالة ثبوت زاوية الانزلاق β

بالمثل استدارة العجلة حول المخطط (انظر الشكل 6) تفرض على
 اتجاه التمرير (المحور x) مقدار الذراعته (y) وتقطع المسافة (دلتا)
 واذا اخذنا نصف قطر الاستدارة (R) كبيراً نسبياً يمكن ايضاً والوثيقة
 بين التحريك الجانبي (y) وسرعة زوايا الدوران والازدواجية مركز العجلة
 كما يلي:

$$y = \frac{dy}{dt} = \frac{d\theta}{dt} \cdot \frac{dt}{ds} = \dot{\theta} \times \frac{1}{v}$$

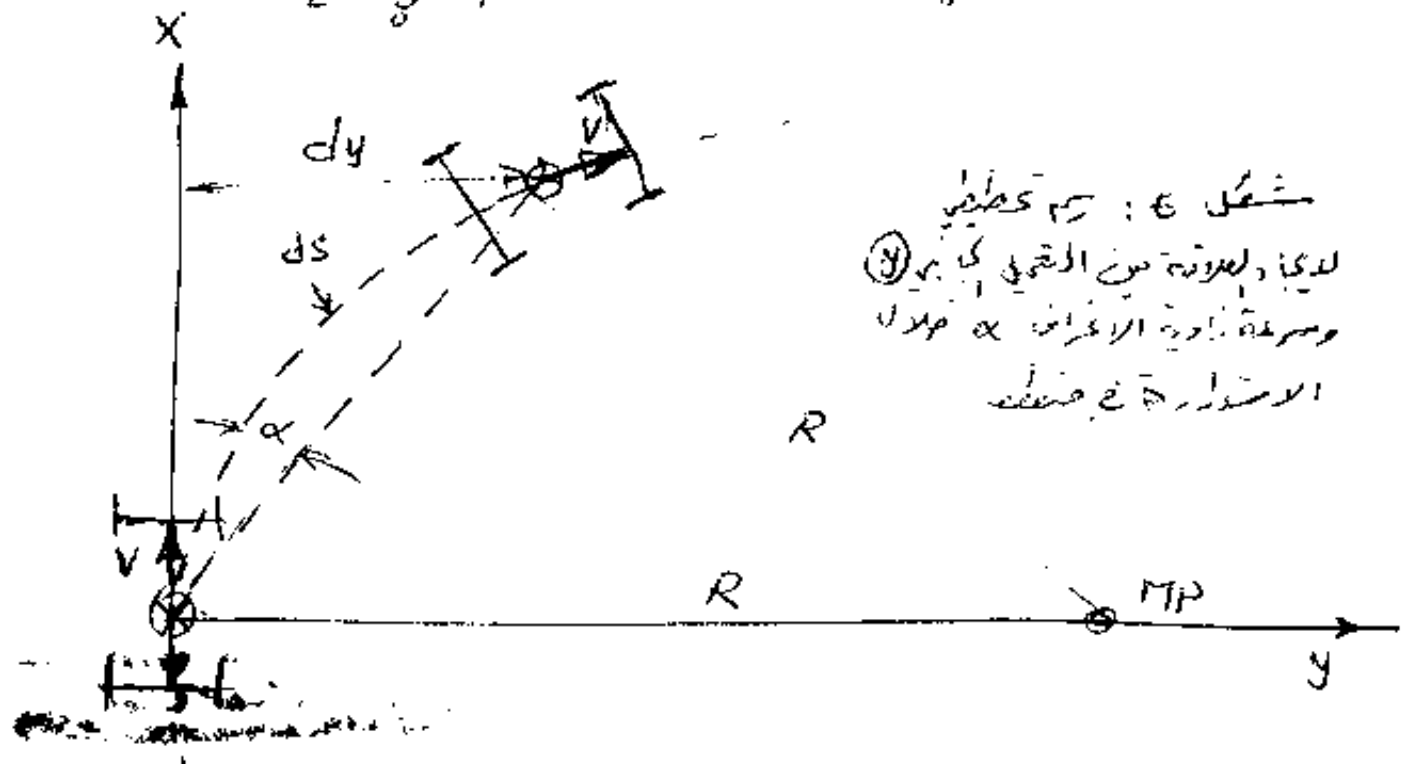
$$\dot{y} = \frac{dy}{dt} = \frac{d}{dt} \left(\dot{\theta} \times \frac{1}{v} \right) = \ddot{\theta} \times \frac{1}{v}$$

$$\ddot{y} = \dot{y} \times v = (\ddot{\theta} - \dot{\theta} \times \dot{v}) \times v \quad [الس 7] \text{---} \textcircled{7}$$

* تمرير العنصر الذاتي

ان تمرير العنصر الذاتي (Jz) هو الزخم الجانبي لمرکز العجلة هو
 مقدار كتلة السيارة وكيفية توزيعها وهي عبارة عن مجموع حاصل ضرب
 جميع الأجزاء في مربع مسافتها عن محور الدوران (z) وتكتب كالتالي بالمعادلة
 الآتية

$$J_z = \int_0^m r_i^2 dm = r^2 \times m \quad [kg \cdot m^2] \text{---} \textcircled{8}$$



شكل 6: رسم تخطيطي
 للجهد والسرعة بين التحريك الجانبي (y)
 وسرعة زاوية الاغراض alpha حول
 الاستدارة في حقل

خطا فقط في المبرهنات (المتغيرين)

9. وتبين تقدير قيمة نصف قطر المسارات اللولبية المتعددة ذات المحرك بؤبؤاها
والوضع الكلي. حيث تتكرر اللولب في مقدمة وشوفرة السيارة - المعدلة بزاوية

$$r = \frac{1}{2}(A+B) \text{ [m]}$$

أي أنه سيؤدي نصف المسافة المرافقة بين المحاور الأمامي والخلفي -
أما بالنسبة لسيارات السبعم ذات المحرك الوسطي تكون قيمة (r) أقل مما هو
عاديته في قيمة لسيارات نظراً لتوزيع اللولب في مقدمة السيارة
أذن فعلى كحاشية اللولب بعيدة عن مركز الثقل الزاد بذلك نصف قطر منحرف اللولب
الزاد (r).

* السلوك الترددي

لنفرض المعادلات من (8-3) في المعادلتين (1) ، (2)

نستنتج أن :

$$C_{axf} \left(\delta + \beta - \frac{a\psi}{v} \right) + C_{axr} \left(\beta + \frac{b\psi}{v} \right) + W + mv(\psi - \beta) = 0 \quad (9)$$

$$C_{axf} \left(\delta + \beta - \frac{a\psi}{v} \right) \cdot a - C_{axr} \left(\beta + \frac{b\psi}{v} \right) \cdot b + W \cdot e - mr^2 \cdot \ddot{\psi} = 0 \quad (10)$$

- المتغيرات في المعادلتين هي (W, ψ, β)
- الثوابت هي : C_{axf} , C_{axr} , a , b , e , r

Using Laplace transform on the above equs (9, 10), & after using

$$\begin{aligned} \psi &= \psi_0 e^{pt} & \dot{\psi} &= \psi_0 p e^{pt} & \ddot{\psi} &= \psi_0 p^2 e^{pt} \\ \beta &= \beta_0 e^{pt} & \dot{\beta} &= \beta_0 p e^{pt} \\ \delta &= \delta_0 e^{pt} \\ W &= W_0 e^{pt} \end{aligned}$$

where $p = i\omega$, $i = \sqrt{-1}$

ψ₀ , β₀ , δ₀ , W₀ هي قيم المتغيرات

بعد ذلك نضع المتغيرات عند التواتر والنفوس عند زاوية الأبراز من
المعادلة (9) ، (10) نستنتج المعادلة النهائية التي تربط بين المتغيرات
سرعة الدوران (ψ) ، زاوية مقدمة اللولب (β) ، وزاوية الأبراز (δ) ، وقيمة الثوابت (W₀)

$$\dot{\psi} \cdot r^2 \cdot m^2 \cdot V [P^2 + A_1 P + B_1] = S_2 [A_2 P + B_2] + W_2 [A_3 P + B_3] \quad (10)$$

$$A_1 = \frac{1}{m V r^2} [C_{af}(a^2 + r^2) + C_{ar}(b^2 + r^2)] \quad (12) \text{ حسب (11)}$$

$$A_2 = m V a \cdot C_{af} \quad (13)$$

$$A_3 = m V W \quad (14)$$

$$B_1 = \frac{1}{m^2 V^2 r^2} [C_{af} C_{ar} (a+b)^2 + m V^2 (b C_{ar} - a C_{af})] \quad (15)$$

$$B_2 = C_{af} C_{ar} (a+b) \quad (16)$$

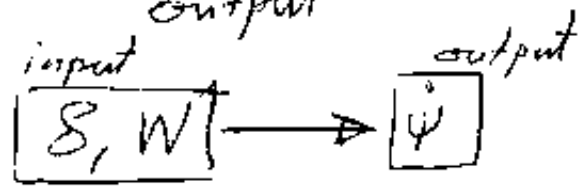
$$B_3 = C_{af}(e-a) + C_{ar}(e+b) \quad (17)$$

ان زيادة استدارة العجلتين (الزائديتين) (S) لها تأثير داخلي على سرعة السيارة
 ناتج عن قرين دوليت القيادة (مساحة) . أما قوة الريح الجانبية (W) فهي
 تأثير خارجي على سرعة السيارة وعلى عمرتها .

يمكن اعتبار التأثير الداخلي والخارجي معاً دمجاً للنموذج ويمكن استخدامه كمدخل

المدخل للمعادلة (11) .
 system
 (S, W) - input

ان سرعة الازدواج ($\dot{\psi}$) الذي ينتج
 الكمية المبركة من المعادلة (11) هي نتجاً للنموذج
 ناتج من التأثيرين الداخلي
 والخارجي معاً وذلك عند ضئيل



① * الاهتزازات الحرة

إذا اهتزت على سيارة أثناء سيرها بسرعة عالية على طريق مستو ولفترة قصيرة من الزمن قوة فاصحة اهتزازية (كأرباح الجالسية مثلا) أو اهتزازية دورانية الشبابة، نلاحظ أنها تدور حول نفسها بشكل ترددي إلى أن يتجهل اهتزازها تدريجيا بعد قفها لفترة زمنية معينة، وتكون هذه الاهتزازات مستمرة في الوجود حتى بعد انقضاء الاهتزازات الداخلية أو الخارجية عليها لذلك عدنا نسميها بالاهتزازات حرة.
 نحصل الطرف الأيمن للمعادلة (11) مساوية الصفر عوضا عن يسارها بالمعادلة المتجانسة منها على المعادلة الحتمية.

$$\psi_0 \cdot r^2 \cdot m \cdot v [P^2 + A_1 P + B_1] = 0 \quad (18)$$

ونكتب هذه المعادلة أنها $\psi_0 = 0$

$$(P^2 + A_1 P + B_1 = 0) \quad \div$$

$$P_{1,2} = \frac{-A_1 \pm \sqrt{A_1^2 - 4B_1}}{2}$$

$$P_{1,2} = \frac{-A_1}{2} \pm \sqrt{\left(\frac{-A_1}{2}\right)^2 - B_1} \quad (19)$$

وعلين كتابة المعادلة بـ ω_n ونظروا الآتي:

$$P_{1,2} = \frac{-A_1}{2} \pm i\sqrt{B_1} \cdot \sqrt{1 - \left(\frac{A_1}{2\sqrt{B_1}}\right)^2} \quad (19)$$

$$= -\xi \omega_n \pm i\omega_n \sqrt{1 - \xi^2}$$

$$= -\xi \omega_n \pm i\omega_d$$

حيث $\omega_n = \sqrt{B_1}$ عيلى التردد الطبيعي غير المبد ω_n [rad/sec]

$\xi = \frac{A_1}{2\sqrt{B_1}}$ عيلى معامل التخميد

(14)
22

$$\left[\left| \frac{\psi_0}{\delta_{L_0}} \right| = \frac{1}{m^2 \cdot r^2 \cdot v \cdot i_s} \sqrt{\frac{(A_2 \omega)^2 + B_2^2}{(B_1 - \omega^2)^2 + (A_1 \omega)^2}} \right] \text{ [V/sec]}$$

حيث A_1, B_1, A_2, B_2 معروفة ، بحسب قانون هارون (12) ، (15) ، (13) ، (16) على التوالي والمذكورة سابقاً

HIW

المطلوب إيجاد العلاقة الترددية نسبة إلتزاز $\left| \frac{\psi_0}{\delta_{L_0}} \right|$ للسيارة مع ترددات ذات محور x و y و z فلتعرف من المعطيات الآتية :

$$a = 1.24 \text{ [m]} ; b = 1.46 \text{ [m]}$$

- الخبارة الجانبية للسيارة الأمامية ($C_{ay} = 80000 \text{ N/mrad}$)
- الخبارة الجانبية الخلفية ($C_{ax} = 80000 \text{ N/mrad}$)
- كتلة السيارة $m = 1250 \text{ [kg]}$
- نصف قطر عزم القصور الذاتي حول المحور $r = 1.35 \text{ [m]}$
- نسبة التخميد في آلية القيادة $\xi_s = 20$
- سرعة المركبة الخطية في مركز الأضد $v = 40 \text{ m/s}$

نتائج كل

بعد تقويم التوافق المذكورة في المثال في الماد (22) وبرحمتنا بتغير التردد من 0.1 Hz إلى 10 Hz علون الكمول كل مجموعة من المعطيات لدراسة تأثير سطحات المركبة الخرس

$$1 \text{ Hz} = \frac{\omega}{2\pi} \Rightarrow \omega = 1 \text{ Hz} \times 2\pi$$

$$0.1 \text{ Hz} = \frac{\omega}{2\pi} \Rightarrow \omega = 0.1 \times 2\pi$$

وتوضيح مجموعة قيم التردد الكمول كل مجموعة قيم نسبة $\left| \frac{\psi_0}{\delta_{L_0}} \right|$ للسرعة إعطاء

(*) ونعلم أنه تأثير السرعة على مسار المعنى (السرعة الكمية) فإذا أخذنا مجموعة قيم للسرعة الكمية تتراوح من 10 m/s إلى 60 m/s ونرى كل مجموعة من المعطيات تبين تأثير السرعة في قيم $\left| \frac{\psi_0}{\delta_{L_0}} \right|$ وخصوصاً في - فلتعرف بتغير $(\sqrt{B_1})$ حسب تزايد ونسبة تزايد سرعة الكمية وهذا يعني أن السيارة بسرعة تساهل مستقرة

تأثير زيادة الجهد للاطراف C_{gr} ، C_{gp}

عند دراسة تأثير الكمية الجهدية للاطراف الايجابية والكيفية

عند نسبة الجهد المطلقة $\frac{\psi_0}{S_{L_0}}$ عند طول الجهدية (22) عند اذا

اخذنا قيم الكمية الجهدية $\frac{C_{gp}}{C_{gr}}$ من (0.5 - 2.0) لسرعة

قصية ثابتة مترا (40 m/s) ولقيم ترددات مختلفة (من 0.1 الى 2.0 Hz)

سفرنا ان نسبة سرعة الدوران تزداد بزيادة النسبة $\frac{C_{gp}}{C_{gr}}$ في جميع الترددات

وخاصة في مجال التردد الواسع ويكون تزداد قيمة الكمية الجهدية للاطراف

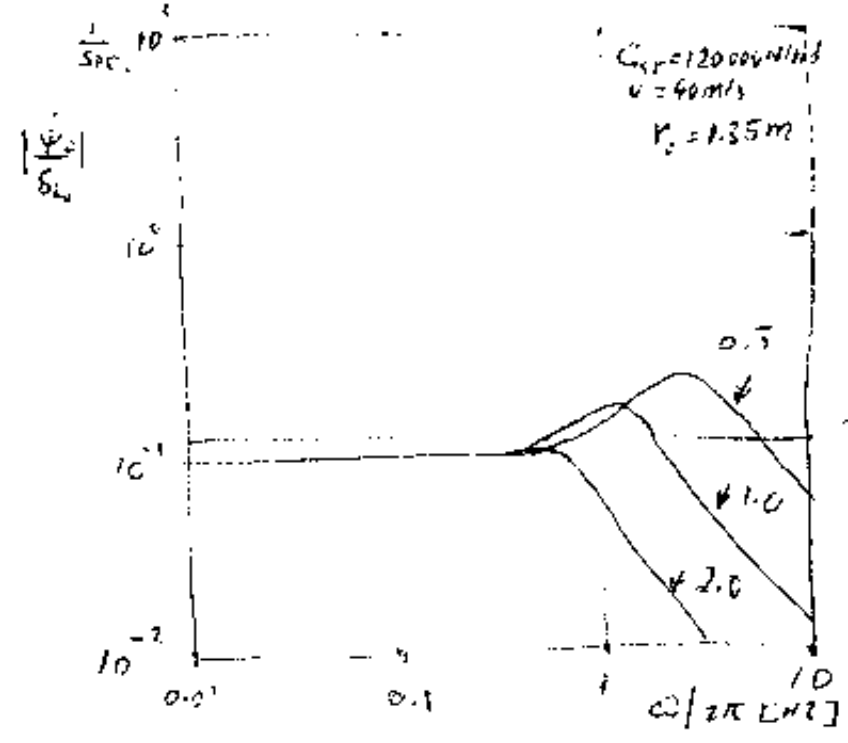
بزيادة ضغط المواد المتعددة

تأثير ضغط سطح عمق الجهد الانزياح (2)

تأثير ضغط سطح عمق الجهد الانزياح (2) عند تأثير تغير نسبة ضغط قطر من

القيم الانزياح (2/2) من (0.5 - 2.0) في نسبة الجهدية يكون هذا التأثير في

في مجال التردد العالي



وخاصة عند تغير سرعة الدوران
 في مجال التردد العالي
 بزيادة نسبة ضغط قطر من
 القيم الانزياح (2/2) من (0.5 - 2.0)
 في نسبة الجهدية يكون هذا التأثير في
 في مجال التردد العالي
 وخصوصا في مجال التردد الواسع
 ويكون تزداد قيمة الكمية الجهدية للاطراف
 بزيادة ضغط المواد المتعددة

* التردد الطبيعي ومعامل التخميد

- التردد الطبيعي غير المخمد

التردد الطبيعي هو العرضي للسيارة هو تردد الحركة الدورانية التي تحدث بها السيارة في حالة التأثير خارجي

شكل محثي ولفترة قصيرة من الزمن اما هو عملية القيادة او تأثير قوة خارجية الا في حالات الاضطرابات الحركة المذكورة سابقا

The undamped natural frequency (ω_n) is:

$$\omega_n = \sqrt{B_1} = \frac{1}{mvr} \sqrt{C_{sp} C_{ar} (a+b)^2 + mv^2 (b C_{ar} - a C_{sp})} \quad [rad/sec.]$$

(23)

وتعتمد علاقة التردد الطبيعي غير المخمد (ω_n) بسرعة السيارة (v) على مقدار القوس تحت الجذر ($b C_{ar} - a C_{sp}$)

There are three cases:

① positive case ($b C_{ar} - a C_{sp}) > 0$

تكون العلاقة بين ω_n و v علاقة عكسية حيث يقل التردد الطبيعي غير المخمد بزيادة السرعة (تغير الاصل السبات العنقودية ذات الحركه الاصاحياد ومع انقلاب او تقوس السبات ذات الحركه العنقودية ذات الحركه الاصاحياد)

② Zero case ($b C_{ar} - a C_{sp}) = 0$

تكون العلاقة بين (ω_n) و (v) عكسية الرضاد حيث ان العلاقة عكسية بالتمام والكمال
باستثناء ان قيمة (ω_n) تكون اقرب الى صفر

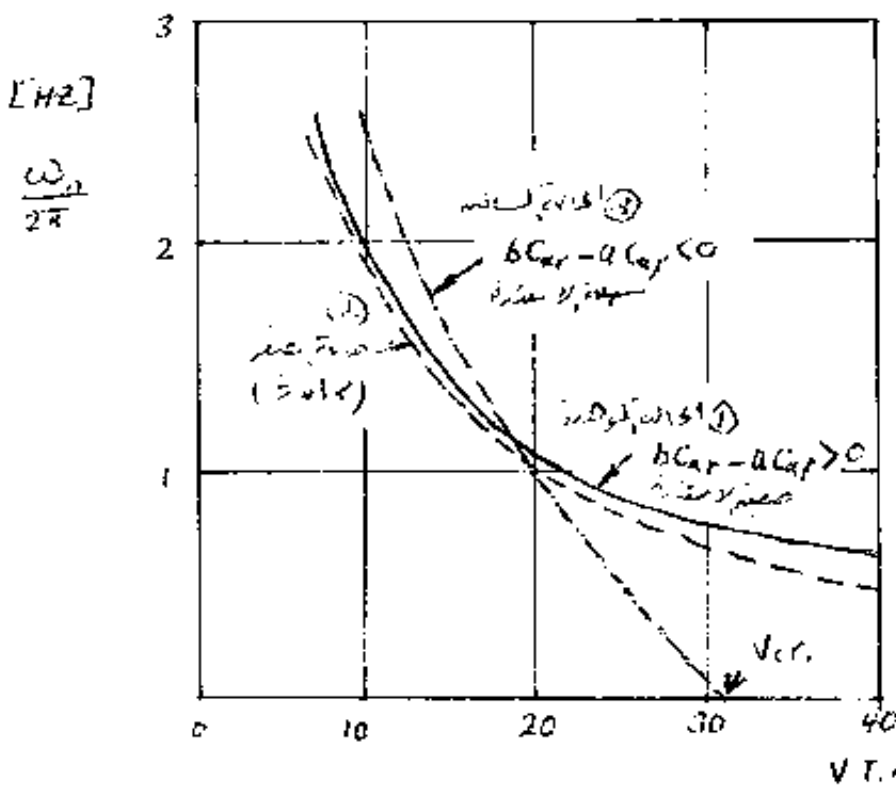
③ Negative case ($b C_{ar} - a C_{sp}) < 0$

تكون العلاقة بين (ω_n) و (v) عكسية كذلك راضيه بالتمام ان يقل التردد الطبيعي غير المخمد بزيادة السرعة مع استمراره في السرعة الحركه v_{cr} وهذا يعني ان الحركه الدورانية تتحول الى حركه للترددية كلما كانت هذنا في المادة حيث بعدا التفرعها على ($\omega_n = 0$) تكون سرعة الاستقراره مقداراً تاماً

(20)

وقيمته $[\psi = C + D]$ - (في موضوع المادة 20) - وتظهر هذه العلاقة على جميع السيارات ذات المحور الخلفي والرفع الخلفي حيث يكون موقع مركز ثقلها قريباً من المحور الخلفي $(a > b)$

والشكل 8 يوضح العلاقة بين (هـ) و (و) على ثلاث إطارات مختلفة الخلاله

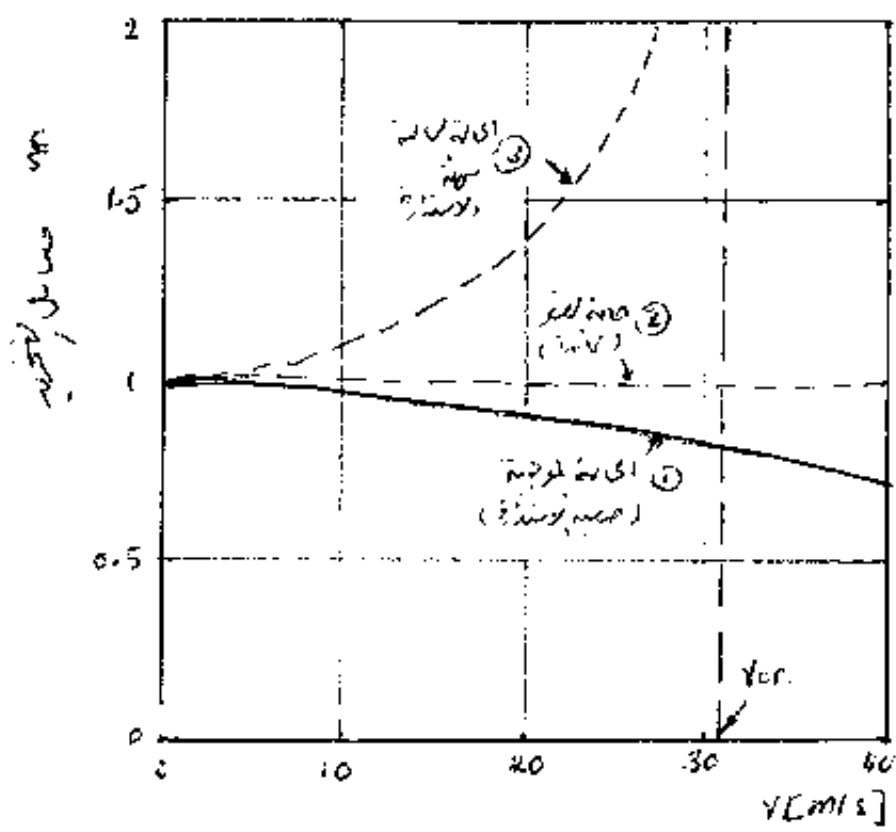


- شكل 8
علاقة الإرتداد الطبيعي غير المجهز بالسرعة الخلاله
التحريك لإنتاج
- 1] $a = 1.24m, b = 1.46m$
 $C_{ay} = 20000 = C_{ax} \text{ [N/rad]}$
 - 2] $a = 1.35m, b = 1.35m$
 $C_{ay} = C_{ax} = 20000 \text{ [N/rad]}$
 - 3] $a = 1.24m, b = 1.46m$
 $C_{ay} = 160000 \text{ [N/rad]} \text{ \&}$
 $C_{ax} = 80000 \text{ [N/rad]}$

العامل التخميد ξ : ان معامل التخميد هو مقياس لدرجة اضمحلال الاهتزازات المرغوبة بمرور الزمن

$$\xi = \frac{A_1}{2\sqrt{B_1}} = \frac{C_{ay}(a^2+r^2) + C_{ax}(b^2+r^2)}{2r\sqrt{C_{ay}C_{ax}(a+b)^2 + mv^2(hC_{ax} - aC_{ay})}} \quad (24)$$

وهذا يدل على العلاقة بين معامل التخميد ξ و سرعة المركبة (v) كما يتضح لنا بالشكل و : بقدر



شكل و مارتنة
معامل التخميد في سرعة ثابتة
التغير المذكور في
الشكل 18 -

من عند علاقة C على V
كما هو في شكل و ارجو
علاقة المقادير المحررة
العوضية $(bC_{cr} - aC_{cr})$
في تمام المعادلة (24)

1] Positive case $(bC_{cr} - aC_{cr}) > 0$

④ decreases when V increases (slowly) see Fig 9
هذا يعني ان سرعة التخميد تزداد في سرعة القيادة وليس معامل
التخميد الا بعد عند $(V = \infty)$ حتى وتسمى هذه الحالة (مقاومة التخميد)

2] Zero case $(bC_{cr} - aC_{cr}) = 0$

C will be constant and is equal to ①
 $C = 1$

اي ان سرعة التخميد ثابتة في سرعة القيادة (V) وتسمى هذه الحالة
بالثبات الكلي وهي حالة التوازن بين التخميد والتخميد
واللاذبية.

3 Negative case $(bC_{cap} - aC_{cap}) < 0$

§ increases \rightarrow when v increases

وتنقل عميقة في v في 21 فالأولوية في سرعة الحركة v_{cr} .

at $v_{cr} \rightarrow$ (4) will be infinity

وتسمى هذه الحالة بزيادة التخميد ويكون الحركة لا دورية.

* التردد الطبيعي المنحد ω_d

وهو التردد الحقيقي للاهتزازات الأرضية الحركة لمعظم الجدران

لأنه معامل التخميد قليل يكون كحدوث بين الصفر والواحد $(0 < \xi < 1)$

وبذلك يصبح هذا المعادلة (25) بين الترددات الطبيعية ويكون المنحد

التردد الطبيعي المنحد

$$\omega_d = \omega_n \sqrt{1 - \xi^2} = \frac{2\pi}{T} \quad [rad/s] \quad (25)$$

حيث T هو فترة التذبذب [sec] - كما في الشكل (7)

وهي تتصل 10 العناصر في هذه الدورة بين (ω_d) و (v) كما في الشكل

الشكل 8، 9، 8 يتصل جميع المعادلات (25) ، وتسمى التخميد بين

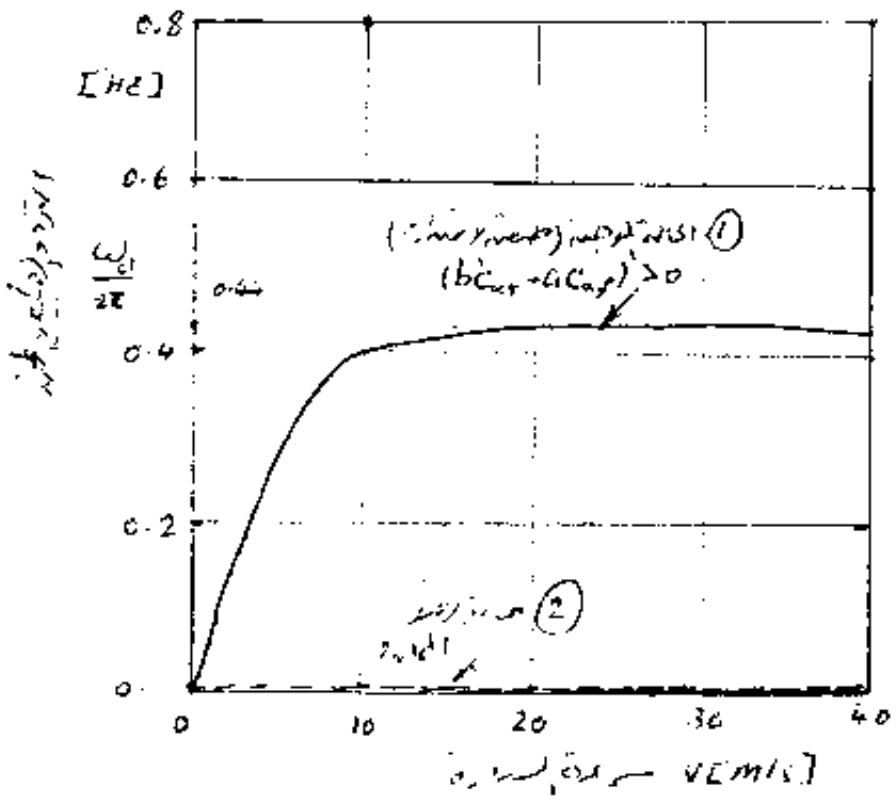
الاستقرار الاستثنائي

(A) الحالة المرهنة $bC_{cap} - aC_{cap} > 0$

يكون (ω_d) قليل المقدار في السرعة المتوسطة ثم يزداد ان مقدار ثابت

تقريباً $(0.44 Hz)$ بزيادة سرعة المدخل يمكن اعتبار ثابتاً لمعظم الجدران

الاعتمادية في مجال سرعة المتوسطة والسرعة العالية.



الشكل 10
 العلاقة بين تردد التذبذب المحرك
 وسرعة الحمارون المتحركين المذكورين
 في السابق. علماً
 بأن تردد التذبذب المحرك
 يعتمد أيضاً على (3) مقدار
 ضيائية - (للإشارة إلى 13)

حالة (2) Zero case $(bC_{sp} - aC_{sp}) = 0$

تكون $(\omega = 0)$ لأنه معادل التخميد (عمق) زياد في المقدار (1) في هذه
 الحالة - انظر المعاد (21) -
 ولذا لا يكون هناك اهتزاز في السرعة وتكون الحركة عارضية التذبذب

في هذه الحالة السالبة $(bC_{sp} - aC_{sp}) < 0$ لا يوجد هناك

تخميد كبير لتردد التذبذب المحرك لأن معادل التخميد (عمق) زياد
 إلى درجة العدم ووجه التذبذب والمعادلة (21) ستكون (21)
 ضيائية - انظر المعاد (13) المذكور في الحالة المذكورة

* الحالة عدمية التذبذب

في حالة تشيخ عملية القيادة سرارية معينة (δ_2) وعدم تغيرها نستدر
 المربعة حول نقطة ثابتة (مركز الذرارة) ويشترط انه تكون سرعة المربعة
 ثابتة ايضاً. تسمى هذه الحالة بالحركة عدمية التذبذب اي لا توجد هنا
 اية حركة ترددية لعملة القيادة و تكون سرعة الدوران حول المنطق عدمية
 التردد ايضاً وثابتة.

ويمكن الحصول على نسبة السعة للحالة اللازبدية بسهولة بعد جعل تردد
 عملة القيادة في المعادلة (22) صافياً للصفر ($\omega = 0$) وبذلك تبسط
 هذه المعادلة الى آري

$$\left| \frac{\dot{\psi}_2}{\delta_{L_2}} \right| = \frac{1}{m^2 \cdot r^2 \cdot v \cdot i_2} \sqrt{\frac{(A_2 \omega)^2 + B_2^2}{(B_1 - \omega^2)^2 + (A_1 \omega)^2}} \quad (22)$$

مع تبسيط $\omega = 0$ فيها نضع

$$\left| \frac{\dot{\psi}_2}{\delta_{L_2}} \right| = \frac{1}{m^2 \cdot r^2 \cdot v \cdot i_2} * \frac{B_2}{B_1}$$

$\omega = 0$

$$\therefore \left| \frac{\dot{\psi}_2}{\delta_{L_2}} \right| = \frac{1}{m^2 \cdot r^2 \cdot v \cdot i_2} * \frac{C_{ap} \cdot C_{ar} (a+b) * m^2 \cdot v^2 \cdot r^2}{[C_{ap} \cdot C_{ar} (a+b)^2 + m v^2 (b C_{ar} - a C_{ap})]}$$

$$\therefore \left| \frac{\dot{\psi}_2}{\delta_{L_2}} \right| = \frac{v \cdot C_{ap} \cdot C_{ar} (a+b)}{i_2 [C_{ap} \cdot C_{ar} (a+b)^2 + m v^2 (b C_{ar} - a C_{ap})]} \quad (26) \quad [1/sec]$$

ونلاحظ اننا عند القيادة الملائمة (26) في الاثرية يشترط

① positive case $(b C_{ar} - a C_{ap}) > 0$

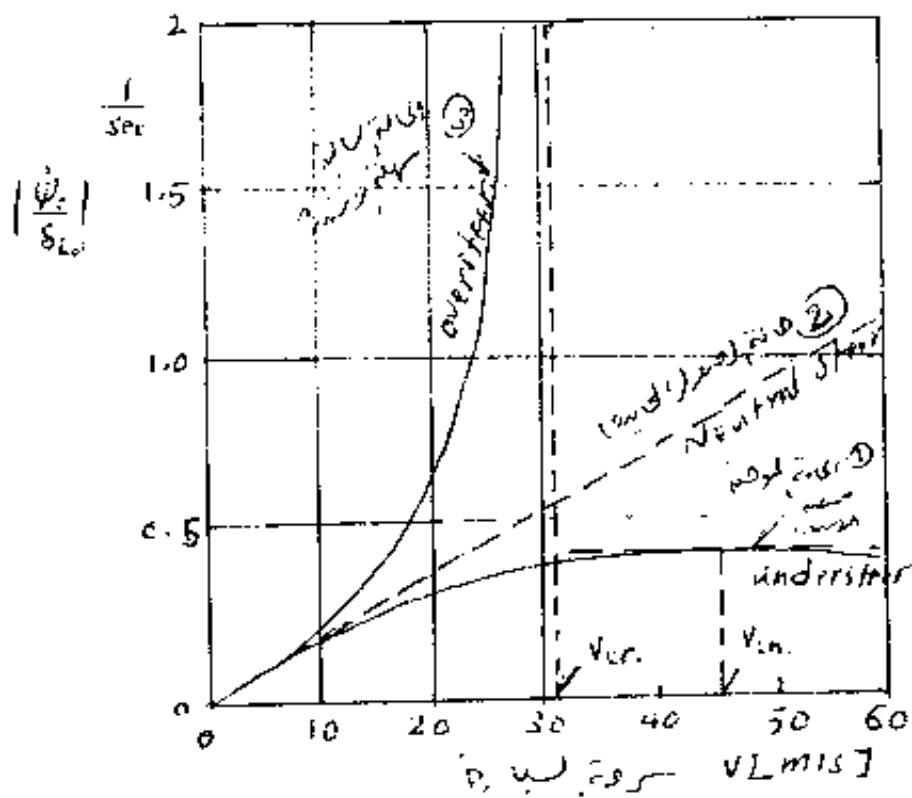
تزداد نسبة السعة لسرعة الدوران بتزايد السرعة الكلية ان كان يقل معدل
 الاقصا في واصلها سرعة الميزة (v_{ch}) ثم تحصل تدريجياً ان يقل الاثر
 عندما $v = \infty$

ولديجاد السرعة المثيرة (V_{ch}) نفاضل المعادلة (26) ونساوي ما حصلنا

$$\frac{\partial \left| \frac{\psi}{\delta_{L0}} \right|}{\partial V} = 0$$

H.W مشتقاً ووجدنا
لعداد مشتقاه والتبسيط نحصل على

$$V_{ch} = \sqrt{\frac{C_{xp} C_{ar} (a+b)^2}{m(b C_{ar} - a C_{xp})}} \quad (27)$$



نتصور ان ثلاثة
نوعاً من سرعة الدوران ان
تكون سرعة القيادة بالسرعة
الممكنة للحاوية، وتكون
المذكورة سابقاً
تسمى (8)

نلاحظنا معطيات بحالة لاري في الشكل (8) في المعادلة (27) نحصل على

$$V_{ch} = 46.05 \text{ [m/s]} \approx 166 \text{ km/h}$$

وهذا يتوافق مع V_{ch} في المعادلة (26) كما نرى انه

$$\left| \frac{\psi}{\delta_{L0}} \right|_{\max} = 0.427 \text{ [1/Sec]}$$

وتسمى هذه الحالة كذلك بحالة السيارات التي لا تستدرة (understeer) وينطبق هذا على جميع السيارات ذات الجير الأمامي والذراع الكلي او ذات الجير الخلفي والذراع الأمامي (a < b).

2) Zero case $bC_{ax} - aC_{ay} = 0$

تحوّل المعادلة (26) إلى الصورة البسيطة الآتية :

$$\left| \frac{v_0}{S_{20}} \right| = \frac{v}{S(a+b)} \quad \text{--- (28)}$$

وهذا يعني من المعادلة (28) أن سرعة قطرة بين v و $\left| \frac{v_0}{S_{20}} \right|$ نظرًا لأن v رشيما هذه الحالة بالحالة الخاصة Neutral Steer لأننا نعلم، كما نلاحظ من مخطط السيارة - السرعة الاستقرارية، والسيارة حالة الاستقرارية

3) Negative case $bC_{ax} - aC_{ay} < 0$

تزداد سرعة السيارة كلما تزايدت السرعة وتصل إلى حد معين كحالة (26) وتحت من هذه الحالة v_{cr}

وتحت v_{cr} عندنا يكون هناك المعادلة (26) بديلاً للمعادلة

$$S [C_{ay} C_{ax} (a+b)^2 + m v^2 (bC_{ax} - aC_{ay})] = 0$$

H.W حيث نستخرج v_{cr}

$$v_{cr} = \sqrt{\frac{C_{ay} C_{ax} (a+b)^2}{m (aC_{ay} - bC_{ax})}} \quad \text{--- (29)}$$

فقط نرى قيمتها كما، لكن قيمتها v_{cr} في الشكل (3) في المعادلة الأولى

$$v_{cr} = 30.25 \text{ [m/sec]} = 109 \text{ (km/h)}$$

وهي السرعة الكريمة التي تكون فيها سرعة الاستقرارية صفرية ∞

$$\left(\left| \frac{v_0}{S_{20}} \right| = \infty \right)$$

وتسمى هذه الحالة لذلك بحالة السيارة سهلة الاستقرارية (overspeed) وتنتهي عن جميع السيارات ذات المحرك الخلفي وأيضاً الخلفي التي عادية يكون مركز ثقلها قريباً من المحور الخلفي $a > b$

ملاحظة: من المفاهيم الثلاثة، تميز حالة المرونة من حالة ① التي
 هي ② أو الحالة ③. وبذلك تميز موقع التعلق (بالتمثيل صورياً)
 أو تغيير خواص الأجزاء (لتغيير الأجزاء أو تغيير خطوط الحمل).

*) عند الاستقرار:

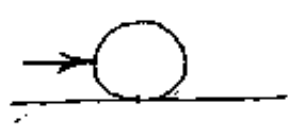
إذا أثرت قوة خارجية في جسم ما لفترة
 قصيرة من الزمن، وسبقت انحرافاً فيه، وإذا انحصرت هذه التأثير
 بمرور الزمن بعد زوال المؤثر، كان الجسم مستقراً.
 وإذا ازداد الانحرافها بمرور الزمن، كان غير مستقراً.
 وإذا ~~انحرف~~ استجاب الجسم للتأثير وتبقى على حاله، كان محايداً.

توضع الكرة التي انحرافها بعد زوال المؤثر
 وتبقى في مكانها، كما في الصورة 1.



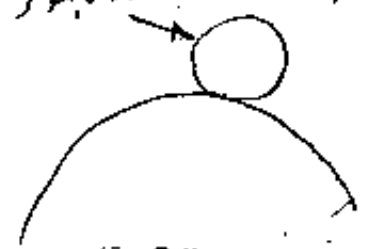
حالة مستقرة

تبقى في مكانه
 بعد زوال المؤثر



محايدة

تتدرج الكرة على قمة
 الجبل، كما في الصورة 2.



حالة غير مستقرة

شكل 12: مثال على التوزيع المستقر

الجسم بصورة عامة

* تحديد الاستقرار بواسطة معامل التخميد

نظرتنا سابقاً إلى العلاقة الرضائية لسرعة الدوران (ω) بتغير معامل التخميد (ξ) في المعادلة (20) وفي الشكل 7 شاهداً هذه العلاقة .
 علماً أننا نحدد الاستقرار وذلك وذلك بالتبديد بين الحالات الثلاث الآتية .

(A) $0 < \xi < 1$: تكون سيارة مستقرة وتضخم الصدمات التي تسبب ترددات عمود الزنق . ويتحقق هذا الشرط إذا كان القوس في المعادلة (24) موجباً $[(bc_{ar} - ac_{ap}) > 0]$ في مقام المعادلة Understeer

(B) $\xi = 1$: تكون سيارة محايدة . أي في حدود الاستقرار وعدمها . وفي سرعة مستوية الاستدارة ثابتة تقريباً أو تضخم سلباً عمود الزنق ويتحقق هذا الشرط إذا كان السرعة الواضحة جداً (تربطه من (عزم) أو إذا كان القوس في مقام المعادلة (24) مساوياً للصفر $(bc_{ar} - ac_{ap}) = 0$

(C) $\xi > 1$: تكون سيارة غير مستقرة وتزداد سرعة دورانها عمود الزنق سلباً للترددات . ويتحقق هذا الشرط إذا كان القوس في مقام المعادلة (24) سلباً $(bc_{ar} - ac_{ap} < 0)$

(*) تحديد الاستقرارية بطريقة (هورفيتز Hurvits)

نفس الاستقرارية بطريقة هورفيتز باستخدام المعادلة المميزة (المفصلة) - المعادلة (18) السابقة

$$\psi, m^2 r^2 v^2 [P^2 + A_1 P + B_1] = 0 \quad (18)$$

تكون السيارة (المقطوعة) مستقرة اذا توفرت الشروط الاتية

- 1- ان تكون ~~جميع~~ الثوابت موجودة وكون قيمة (A, ≠ 0, B, ≠ 0)
- 2- يجب ان تكون قيم الثوابت A₁ و B₁ اما سالبة او موجبة في آن واحد (B₁ > 0, A₁ > 0 أو B₁ < 0, A₁ < 0)
- 3- يجب ان تكون قيمة المحددة الاتية (Determinant) موجبة:

$$D = \begin{vmatrix} 1 & B_1 \\ 0 & A_1 \end{vmatrix} > 0$$

ان القيمة العددية للثابت (A₁) هي موجبة في كل الأحوال اذا استنتجنا من المعادلة (12) ان

$$A_1 = \frac{1}{m v r^2} [C_{\alpha r} (a^2 + r^4) + C_{\alpha f} (b^2 + r^2)] \quad (12)$$

ولذلك A_1 ان يكون في السرعة العالية جدا القريبة من ∞ (v = ∞)

اما B_1 فمن المحتمل ان يكون > 0 (مع المعادلة (15))

$$B_1 = \frac{1}{m^2 v^2 r^2} [C_{\alpha f} C_{\alpha r} (a+b)^2 + m v^2 (b C_{\alpha r} - a C_{\alpha f})]$$

وتعد القيمة > 0

وحيث أن القيمة العددية للحد (A₁) موجبة دائماً فيجب أن تكون (B₁) موجبة أيضاً كما ذكرنا لضمان الاستقرارية العرضية للمركب. وبذلك يتحقق شرط الاستقرار الذي ذكرناه من طريقة هورويتز. أما شرط الثالث الذي يخص الحد (D) فهو مستوفى أيضاً لأن

$$D = 1 \times A_1 - B_1 \times C = A_1 > 0$$

فإن القيمة العددية للحد (B₁) هي التي تحدد الاستقرارية أو عدمها فإذا كان

(4) $B_1 > 0$ حالة لبداية مستقرة

(ب) - إذا $B_1 = 0$ حالة لبداية محايدة وهو الحد الفاصل

بين حالة الاستقرار أو عدمها وكما ذكرنا استنتاج ما سبق

من نسبة الكرم V_{cr} - بقدر العزم المبدئية (5) فن $B_1 = 0$ نجد V_{cr} كما تالياً:

$$\left[V_{cr} = \sqrt{\frac{C_{cp} C_{cr} (a + b)^2}{m(a C_{cp} - b C_{cr})}} \right]$$

وهي مطابقة تماماً للمعادلة (29) التي تخص المركبة عدوية التذبذب. إذن نلاحظ حدود الاستقرارية للمركب، التذبذب والحدية التذبذب متساويان.

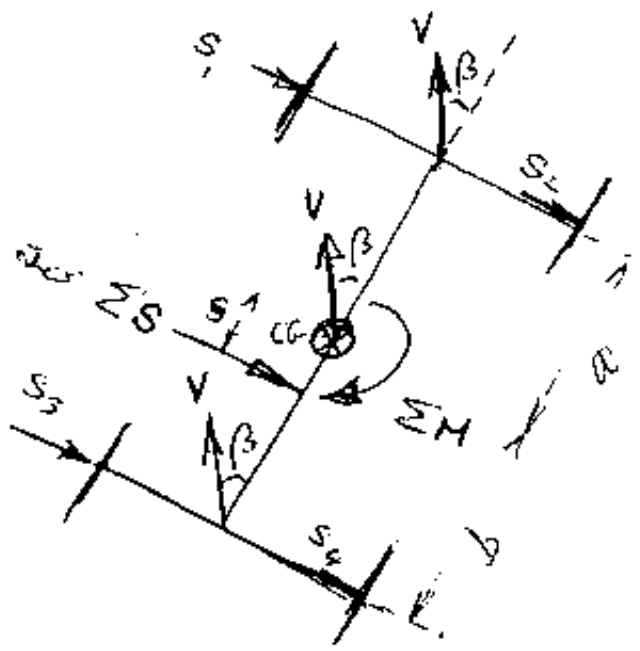
(5) $B_1 < 0$ حالة لبداية غير مستقرة

* الاستقرار في الحالات الاضطرارية

الحالات الاضطرارية هي الحالات التي يطرأ فيها سائق السيارة بتغيير اتجاه سيره بلكونها اذ يتعطلها نتيجة لتأثيرها رجهي أو مؤثر شكل خارجي

A الاستقرار لعدم عاصية

في حالة سير المستقيم على طريق مستوي تقريبا المركبة المتحركة خارجة عن مسيرها ولفترة قصيرة هذه الزيادة في سرعة هذه الفترة انحرافا طفيفا عند اتجاه السرعة الاصلية بزاوية β (زاوية الانحراف) بمرز الانحراف



انحراف 13
 وإذا انخرطت الزاوية الصغيرة فيخرجت تيارا ولدت هذه الزاوية فترة دورانية ما تسمى للزوايا تقادرات زوايا الانحراف في المحور الأمامي وفي المحور الخلفي وفي مرز الانحراف $(\beta_f = \beta_r = \beta)$

اصطلح التقليل الانحراف والتقليل الزاوي والسرعة الزاوية الى 0

$$\dot{y} = 0$$

$$\dot{\beta} = 0$$

$$\dot{\theta} = 0$$

شكل 13: انحراف المركبة بعد تأثير قوة خارجية مفاجئة في 13

حالات المركبة في هذه الحالة مستقرة اذا حسنت محصلة مجموع العزوم حول المرز (CG) تقليلاً للزاوية الانحراف β .

وإذا انخرطت انحراف محصلة مجموع العزوم (ΣM) هو ما اتجاه دوران عقرب الساعة أو العكس اليمين بين الحالات الثلاثة التالية.

$0 < \sum M$ حالة سيارة غير مستقرة
 $0 = \sum M$ حالة سيارة محايدة
 $0 > \sum M$ حالة سيارة مستقرة

ونوجد طريقتين أخريين للتحقق من الاستقرار وهما:

1- مجموع القوى الكاسية المؤثرة على الاطراف وفي جميع الاتجاهات فإذا كانت المحملة $\sum S$ محصورة بين مركز الثقل والمحور الخلفي حالة السيارة مستقرة (يعني يجب ان يقع مركز المحور الخلفي على عزم المحور الأمامي لضمان الاستقرار) (يعني يقلل β) ويمكن تقابله بالمعادلة الآتية.

$$\sum S \times S = [(S_3 + S_4) \times b - (S_1 + S_2) \times a] > 0$$

$$\sum S = (S_1 + S_2) + (S_3 + S_4)$$

$$(S_1 + S_2) = C_{ap} \cdot \beta$$

$$(S_3 + S_4) = C_{ar} \cdot \beta$$

في المعادلة السابقة β هي الارتفاع، ستبين المسألة (S) التي نعمل بها
 نتيجة مجموع القوى الكاسية $\sum S$ عند مركز الثقل حسب المعادلة الآتية

المشتق هو $\frac{d}{dx}$

$$S = \frac{C_{ar} \cdot b - C_{ap} \cdot a}{(C_{ap} + C_{ar})} \quad [m] \quad \text{--- } (30)$$

understeer	حالة سيارة مستقرة	$0 < S$	فإذا كانت قيمة
Neutral	محايدة	$0 = S$	
oversteer	غير مستقرة	$0 > S$	

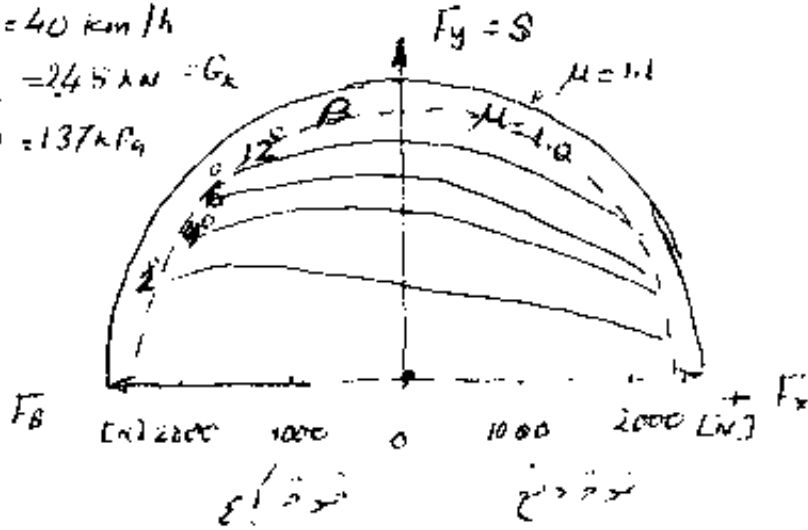
B الاستقرارية في حالة الدفع

البرق اليهيب (BIAS PLY) Type 145-15

$v = 40 \text{ km/h}$

$F_z = 245 \text{ kN} = G_k$

$p_a = 137 \text{ kPa}$



في حالة دفع قمره السيارات
الحدود الزلزالية الخاصة بها
نوعا نظريه تفصيل القوى الكاسية
في اسطح القوس الى حد

$(S_1 = S_2 = S_3 = S_4 = 0)$

لما نشاهد ذلك في القوسات

المأخوذة على الاضلاع في

الشكل 14 ، وللم توجه

هذان ثوابت أو هما اشتغالية

حاصل مؤثرة نفسا في سرعة

شكل 14 : سرعة القوة كالسنة للقوة (S)

لقوة الدفع F_x وقوة الدفع F_z في حالة

ثابت سرعة الزلازل β ، الحمل للعدد (G_k)

وتفقد القيمة العددية هذه بقوى على حاصل ضرب معامل الإجهاد μ في الحمل

العمودي (G_k) - نظير (μG_k) وتكون التمييز بين الحالات الترتيبية :

ترتيب التمييز بين الحالات الترتيبية

1- الدفع بالدراليب الاعادية

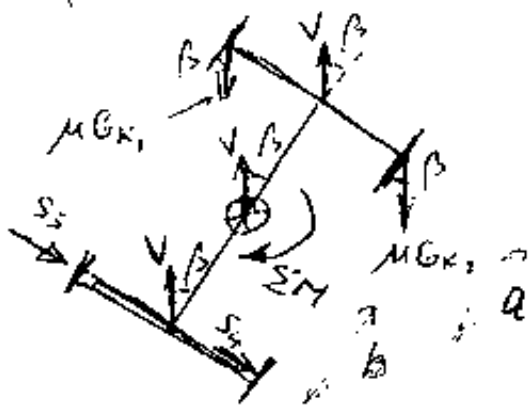
في حالة عطل أنواع الدواليب الكلية

تتم عملية الدفع فقط بواسطة الدواليب الأمامية ، ففي حالة انزلاتها

يؤثر في كل دولاب قوة اشتغالية مماثلة مقدارها (μG_k) و (μG_{k2})

مؤثرة هذا اتجاه سرعة (v).

شكل 15 : الدفع بالدراليب الأمامية



الشكل 15

وتفصيل القوى الجانبية $(S_1 = S_2 = 0)$

أما في المحور الخلفي فترتفع هناك

قوة اشتغالية وللم توجه ثوابت

جانبيته هما S_3 و S_4

أخذ الزخم حول مركز الثقل باتجاه عقارب الساعة

$$\sum M = \mu(G_{K1} + G_{K2}) \sin \beta \times a - (S_3 + S_4) \times b = 0 \quad (31)$$

$$G_{K1} + G_{K2} = G \cdot \frac{b}{a+b} \quad \text{و بالتعويض عنهما نحصل}$$

فدعنا بالتعويض عن القوتين الكارثيتين

$$(S_3 + S_4) = C_{car} \cdot \beta$$

$$(G_{K1} + G_{K2})(a+b) = G \cdot b$$

وإذا كانت زاوية الانزلاق قليلة جدًا بحيث

$$\sin \beta = \beta$$

وإذا كانت زاوية الانزلاق في منتصف ما بين المحاور

$$a = b$$

تتسطح معادلة الزخم (31) أي التي

$$\sum M = \mu \cdot mg \cdot \left(\frac{b}{a+b} \right) \cdot \beta \cdot a - C_{car} \cdot \beta \cdot b = 0$$

$$= \mu \cdot mg \left(\frac{a}{2a} \right) \cdot \beta \cdot a - C_{car} \cdot \beta \cdot a$$

$$\sum M = a \beta \left(\frac{1}{2} \mu mg - C_{car} \right) \quad (32)$$

حلوا فرضنا القيم العددية الآتية لتعويضها بالمعادلة (32)

$$40000 \text{ N/m} = \text{الخاصة بالواحد}$$

$$\mu = 0.7$$

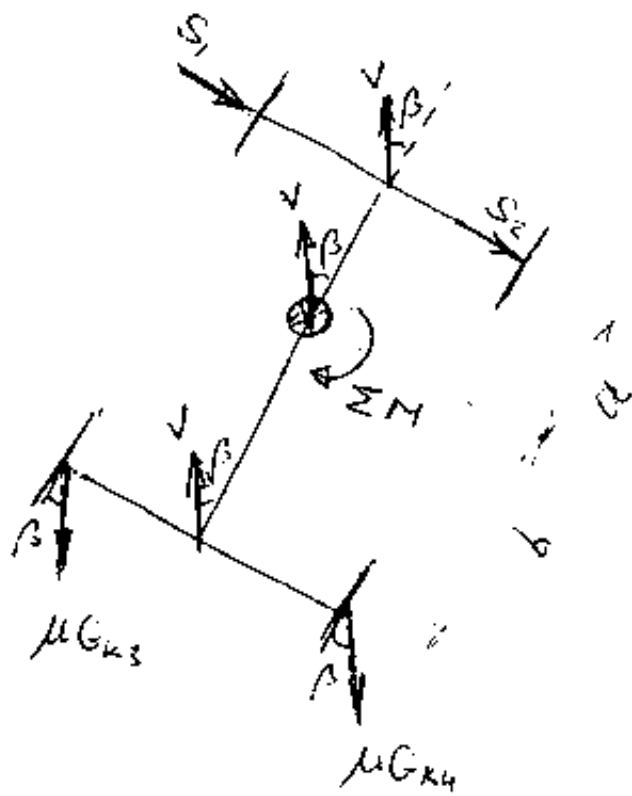
$$m = 1200 \text{ kg}$$

ستكون قيمة $\sum M$ سالبة

$$\sum M = a \times \beta \left(\frac{1}{2} \times 0.7 \times 1200 \times 9.81 - 2 \times 40000 \right) < 0$$

اذن يكون المركبة مستقرة في هذا المكان لأنه في حالة الانزلاق تكون الزخم حول مركز الثقل

2- أبلج بالرد اليب الكلفية



في حالة عطل شرايط الرد اليب الكلفية
 الانسانية تدار تتم عملية الأبلج
 فقط بواسطة الرد اليب الكلفية
 وفي حالة انزلاقها تؤثر في كل
 من الولاين قوة احتكاكية حاصلة
 مقدارها μG_{k3} ، μG_{k4}

تؤثر هذه الاتجاه السرعة (V).

انظر الشكل 16 .

وتصلح القوتين الجاذبتين الى المركز

كل كما د ابلج بالرد اليب الكلفية

7
 توجد قوتها حاصلة $(S_3 = S_4 = 0)$ اما في المحور الأمامي فلا توجد هناك قوتها احتكاكية وذلك

توجد قوتها حاصلة S_1 و S_2 .

• تأخذ عزم حول مركز الثقل باتجاه حركة عقارب الساعة .

$$\Sigma M = (S_1 + S_2) \times a - \mu (G_{k3} + G_{k4}) \times \sin \beta \times b = 0$$

33

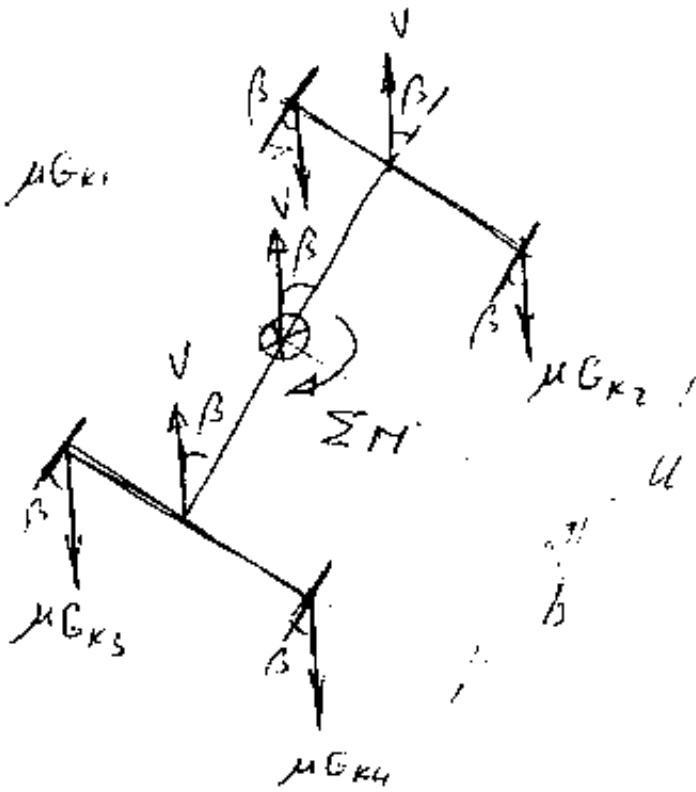
وبالتقريب عند التوازن لما في الحالة التي قبلها تنطبق معادلة العزم الى
 المعادلة الآتية :

$$\Sigma M = a \times \beta \left(C_{xy} - \frac{1}{2} \mu m g \right)$$

34

وإذا عوضنا بقدر الأرقام في الحالة ب بعد ذلك $\Sigma M > 0$ موصوف
 تكون المرلبة غير مستقرة في هذه الحالة لأن β تدار
 حيث يؤثر ΣM في نفس الاتجاه المعرف

3- أوضاع جميع الرواليد



عدد 17 : أوضاع جميع الرواليد

في هذه الحالة توجد القوى
اللاقطة لية المطاسة

μG_{k1} , μG_{k2} , μG_{k3} , μG_{k4} , μG_{k5}
حيث μ وحدة اتجاه سرعة (V)

وتقترب جميع القوى الجانبية الى المحور

$$(S_1 = S_2 = S_3 = S_4 = S_5 = 0)$$

انها $\beta = 17$

نأخذ مركز حول المحور

$$\sum M = \mu (G_{k1} + G_{k2}) \sin \beta \cdot a - \mu (G_{k3} + G_{k4}) \sin \beta \cdot b = 0$$

و بالتعويض

$$(G_{k1} + G_{k2}) = mg \left(\frac{b}{a+b} \right)$$

$$(G_{k3} + G_{k4}) = mg \left(\frac{a}{a+b} \right)$$

في المعادلة (1) يتم استنتاج ان كل قوة تتوضع العزوم ليا μ من
اذن تكون البركة محاذية

$$\boxed{\sum M = 0}$$

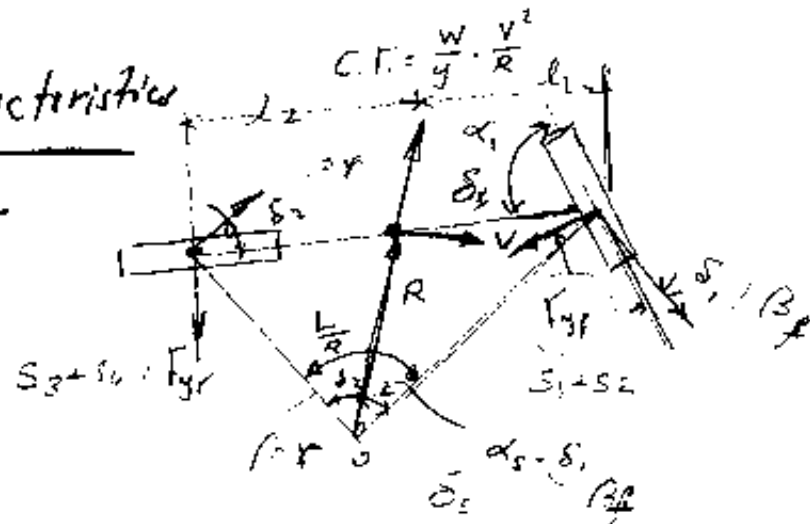
Spinning geometry

$$l_1 + l_2 = l$$

steady state

handling characteristics

new $\beta = \beta'$



The relationships between steer angle of front α_s , turning radius R , wheel-base L & slip angles of the front and rear tires δ_1 & δ_2 is given by

$$\alpha_s - \delta_1 + \delta_2 = \frac{L}{R}$$

$$\delta_2 - \beta_1 + \beta_2 = \frac{1}{R}$$

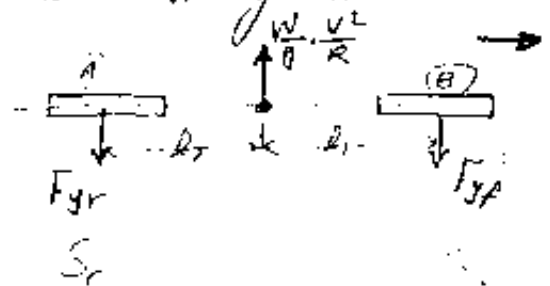
or $\left[\alpha_s = \frac{L}{R} + \delta_1 - \delta_2 \right]$

① $\delta_2 = \frac{1}{R} + \beta_1 - \beta_2$ — (C)

The slip angles δ_1 & δ_2 depend on
 ① side forces acting on tires
 ② cornering stiffness.

For small steer angle is valid:

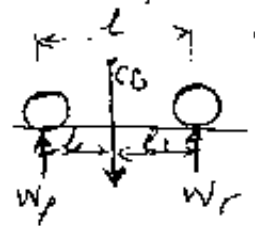
A $S_{yf} = \frac{S_f}{g} \cdot \frac{v^2}{R} \cdot \frac{l_2}{L}$ — (B)
 B $F_{yr} = \frac{W}{g} \cdot \frac{v^2}{R} \cdot \frac{l_1}{L}$ — (3)



The normal load on each of front & rear wheel respectively W_f & W_r under static conditions are:

$$W_f = \frac{W l_2}{2L} \rightarrow W = 2 \frac{W_f \cdot L}{l_2}$$

$$W_r = \frac{W l_1}{2L} \rightarrow W = 2 \frac{W_r \cdot L}{l_1}$$



④ $F_{yf} = 2W_f \frac{v^2}{gR}$

⑤ $F_{yr} = 2W_r \frac{v^2}{gR}$

The slip angle are given by
 ⑥ $\delta_1 = \frac{F_{yf}}{S_1} = \frac{W_f}{S_1} \cdot \frac{v^2}{gR}$
 ⑦ $\delta_2 = \frac{F_{yr}}{S_2} = \frac{W_r}{S_2} \cdot \frac{v^2}{gR}$

$$\beta_1 > \beta_2$$

$$S_1 > S_2$$

, yaw motion is initiated & the vehicle turns away from the side force (3)

Vch. : speed at which the steer angle required to negotiate a turn is $\frac{2L}{R}$.

$$V_{ch.} = \sqrt{\frac{gL}{K_{us}}} \quad \text{--- (10)}$$

(3) oversteer

$$\beta_1 < \beta_2$$

$$K_{us} < 0$$

\Rightarrow

$$[S_1 < S_2]$$

$$\& \left[\frac{W_f}{C_{uf}} < \frac{W_r}{C_{ur}} \right]$$

indicates the car will oversteer

α_s i. h. v.)

critical speed V_{cr} can be identified

$$V_{cr} = \sqrt{\frac{gL}{-K_{us}}} \quad \text{--- (11)}$$

(*) Parameters effect

Testing of Directional Stability

(1)

Testing of handling characteristics

تأثير التوجيه في التوجيه

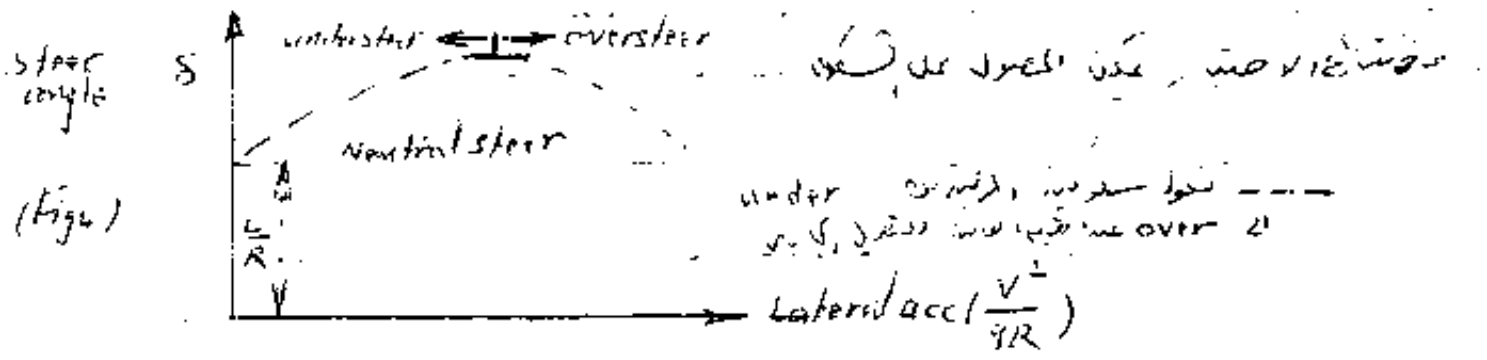
- ① constant radius test
- ② constant speed (V)
- ③ constant steer angle (δ)

هذه الخصائص هي التي تسمى بالخصائص الحركية للسيارة (Handling Characteristics) والتي تتغير مع السرعة (V) والزاوية (δ) والسرعة الزاوية (roll rate).

تعتبر قياسات السرعة الزاوية (roll rate) أو معدل الدوران (roll rate) من حيث التحويل الكلي عند سرعة المركبة $\left[\frac{d\delta}{dt}\right]$ أما التحويل الكلي عند سرعة ثابتة $\left[\frac{d\delta}{dV}\right]$ أو تقديره من حاصل ضرب (السرعة الزاوية * سرعة المركبة) $[V * \dot{\delta}]$

① Constant radius test (R = constant)

في هذا الاختبار تتغير السرعة الزاوية على المحور السيني (roll rate) وتبقى سرعة المركبة ثابتة. زاوية الاضطراب (δ) هي ثابتة أو متغيرة ببطء جداً في هذا المسار حيث تكون التغير كسبي.



عند تدوير سرعة المركبة من المنطقة الوسطى إلى المنطقة اليسرى أو اليمنى.

$$\left[\delta = \frac{L}{R} + K_{us} \cdot \frac{V^2}{9R} \right] \text{ for } (-\text{const. } R) \Rightarrow d\delta = \frac{K_{us}}{9R} d(V^2) \Rightarrow \frac{d\delta}{d(V^2)} = \frac{K_{us}}{9R}$$

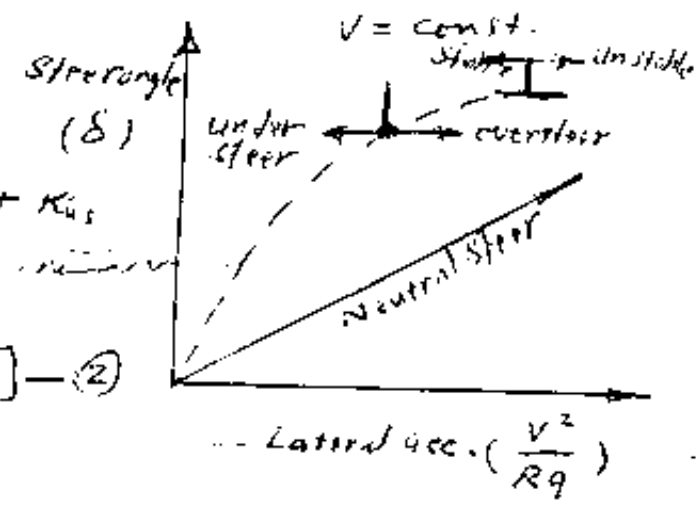
- ① إذا كانت $K_{us} > 0$ (understeer) تكون سرعة المركبة ثابتة وتزداد زاوية التوجيه مع زيادة السرعة.
- ② إذا كانت $K_{us} = 0$ (neutral steer) تكون سرعة المركبة ثابتة وتبقى زاوية التوجيه ثابتة مع زيادة السرعة.
- ③ إذا كانت $K_{us} < 0$ (oversteer) تكون سرعة المركبة ثابتة وتقل زاوية التوجيه مع زيادة السرعة.

[2] Constant speed test (v = constant)

في هذا الاختبار نثبت سرعة المركبة (سرعة ثابتة) ونقوم بالتغيير في نصف قطر الدوران (R variable) ونقيس زاوية الدوران (δ) والتحويل الكلي (σ) ونرسم النتائج كما يلي:

$$\left[\delta = \frac{L}{R} + K_{us} \cdot \frac{v^2}{gR} \right]$$

$$\frac{\delta}{v^2} = \frac{L}{Rv^2} + K_{us} \Rightarrow \frac{\delta}{v^2} = \frac{gL}{v^2} + K_{us}$$



$$\left[\frac{d\delta}{d\left(\frac{v^2}{g}\right)} = \frac{gL}{v^2} + K_{us} \right] \text{--- (2)}$$

- 1 - إذا كانت السلوكية مستقرة (K_{us} > 0) - سيزداد δ مع زيادة v² / g
- 2 - إذا كانت السلوكية غير مستقرة (K_{us} < 0) - سيزداد δ مع زيادة v² / g
- 3 - إذا كانت السلوكية محايدة (K_{us} = 0) - سيزداد δ مع زيادة v² / g
- 4 - عندما يكون الخط = صفر يعني

$$V_{crit} = \frac{gL}{(-K_{us})} \Rightarrow V_{crit} = \sqrt{\frac{gL}{K_{us}}}$$

[3] Constant steer angle test δ = const.

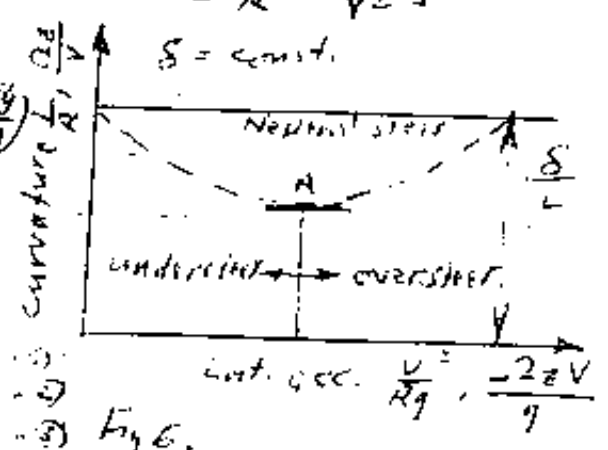
في هذا الاختبار نثبت زاوية الدوران (δ = const) ونقيس نصف قطر الدوران (R) ونرسم النتائج كما يلي:

$$\delta = \frac{L}{R} + K_{us} \frac{v^2}{gR}$$

$$\frac{\delta}{L} = \frac{1}{R} + K_{us} \left(\frac{v}{g}\right) \cdot \frac{1}{L} \Rightarrow \frac{d\delta}{dL} = d\left(\frac{1}{R}\right) + \frac{K_{us}}{L} d\left(\frac{v}{g}\right)$$

$$0 = d\left(\frac{1}{R}\right) + \frac{K_{us}}{L} d\left(\frac{v}{g}\right)$$

$$\left[\frac{d\left(\frac{1}{R}\right)}{d\left(\frac{v}{g}\right)} = -\frac{K_{us}}{L} \right] \text{--- (3)}$$



- 1 - إذا كانت السلوكية مستقرة (K_{us} > 0) - سيزداد δ مع زيادة v² / g
- 2 - إذا كانت السلوكية غير مستقرة (K_{us} < 0) - سيزداد δ مع زيادة v² / g
- 3 - إذا كانت السلوكية محايدة (K_{us} = 0) - سيزداد δ مع زيادة v² / g

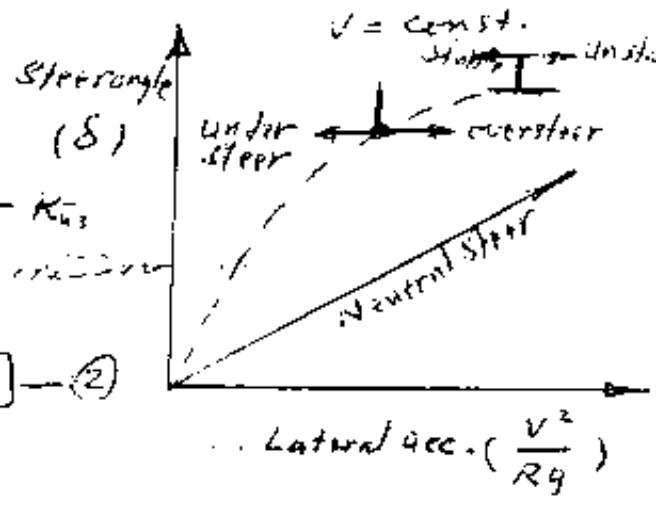
[2] Constant speed test (v = constant)

في هذا الاختبار، تتغير المركبة (سرعة ثابتة) وتكون زاوية انحراف الدوران متغيرة (R (variable)).
تقاس زاوية الدوران (δ) والتحويل الجانبي (y). وترجم النتائج لمعادلة ياتي بها

$$[\delta = \frac{L}{R} + K_{us} \cdot \frac{v^2}{gR}]$$

$$\frac{\delta}{\frac{v^2}{gR}} = \frac{L}{Rv^2} + K_{us} \Rightarrow \frac{\delta}{\frac{v^2}{gR}} = \frac{gL}{v^2} + K_{us}$$

$$[\frac{d\delta}{d(\frac{v^2}{g})} = \frac{gL}{v^2} + K_{us}] \quad (2)$$



- 1 - إذا كانت السلوكية إيجابية (K_{us} > 0) ...
- 2 - Under Steer (K_{us} > 0) ...
- 3 - Over Steer (K_{us} < 0) ...
- 4 - ...

$V_{crit} = \frac{gL}{(-K_{us})} \Rightarrow V_{crit} = \sqrt{\frac{gL}{-K_{us}}}$
في حالة oversteer

[3] Constant steer angle test δ = const.

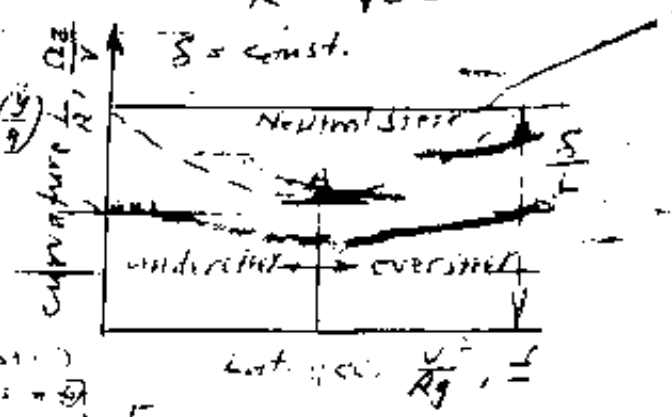
في هذا الاختبار، تتغير المركبة زاوية انحراف الدوران ثابتة (δ = const) وسرعة الدوران تتغير.
تقاس الزاوية الانحرافية (δ) وتغير السرعة بين $\frac{1}{R}$ والتحويل الجانبي $\frac{y}{g}$.

$$\delta = \frac{L}{R} + K_{us} \frac{v^2}{gR}$$

$$\frac{\delta}{L} = \frac{1}{R} + K_{us} \left(\frac{v^2}{g}\right) \cdot \frac{1}{L} \Rightarrow \frac{d\delta}{dL} = d\left(\frac{1}{R}\right) + \frac{K_{us}}{L} d\left(\frac{v^2}{g}\right)$$

$$0 = d\left(\frac{1}{R}\right) + \frac{K_{us}}{L} d\left(\frac{v^2}{g}\right)$$

$$\left[\frac{d\left(\frac{1}{R}\right)}{d\left(\frac{v^2}{g}\right)} = -\frac{K_{us}}{L}\right] \quad (3)$$



1 - إذا كانت السلوكية إيجابية (K_{us} > 0) ...
 2 - Under Steer (K_{us} > 0) ...
 3 - Over Steer (K_{us} < 0) ...

دائري (constant) - ثم بالاحتمال الدور (R = const) هذا هو استمرارية السرعة والقدرة (السرعة الدورانية) المتغيرة
 الاستقامة المتغيرة طرأ الاضطراب والاختلاف في السرعة (V + S) وحسب (التحويل) في سرعة
 الحركة والسرعة المتغيرة

Transient Response characteristics

سيت اذعان المعطيات بالثبوت الاستمرارية وبتغير الوضع في حالة الحركة المستمرة تكون الحركة في حالة
 الاستقامة - سرعة الحركة المتغيرة في هذه الحالة (R = const) سرعة - فيضاً في
 الاستقامة المتغيرة - ان أمثل استجابة استجابة دائرية في الحالة المتغيرة في سرعة
 استجابة سائق الترددات (excitation) من حصوله في الحالة المستمرة (translation
 rotation) دوراناً
 تكون الحركة المتغيرة أثناء الدوران في تلك الحالة (translation rotation) دوراناً
 لمزيد سرعة الحركة في المكان، تتوزع الحركة في وقت واحد في حالات الحركة المتغيرة
 دائرية في الاستقامة في الترددات المتغيرة، المتغير المتغير المتغيرة (في الحالة المتغيرة في سرعة
 التثبيت في الزمان)

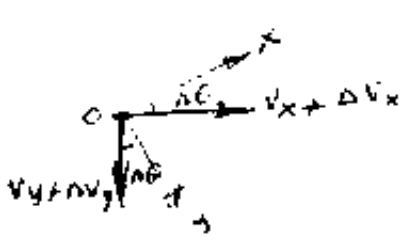
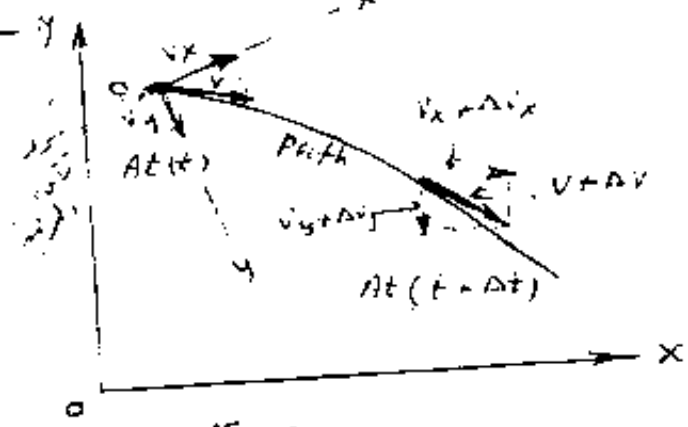


Fig 7

المتغير المتغير في سرعة الحركة في السرعة الخطية المتغيرة
 في Δx

$$(V_x + \Delta V_x) \cos \Delta\theta - (V_y + \Delta V_y) \sin \Delta\theta = V_x \cos \Delta\theta + \Delta V_x \cos \Delta\theta - V_y \sin \Delta\theta - \Delta V_y \sin \Delta\theta \quad (14)$$

$$= V_x + \Delta V_x - V_y \Delta\theta = (\Delta V_x - V_y \Delta\theta) \quad (15)$$

$$dV_x = \frac{dV_x}{dt} - V_y \frac{d\theta}{dt} = \dot{V}_x - V_y \dot{\theta} \quad (16)$$

$$dV_y = \frac{dV_y}{dt} + V_x \frac{d\theta}{dt} = \dot{V}_y + V_x \dot{\theta} \quad (7)$$

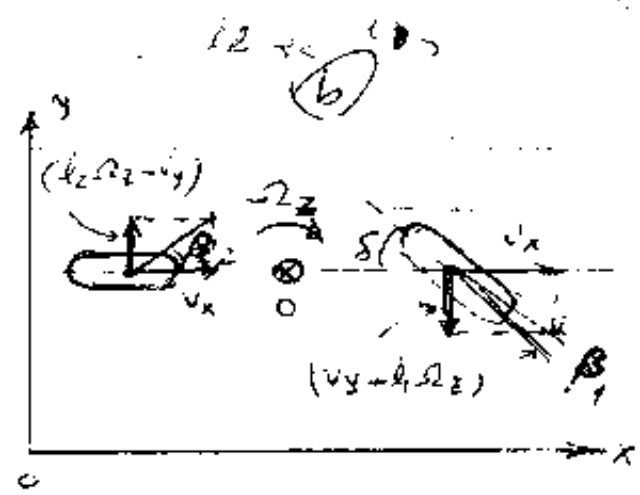
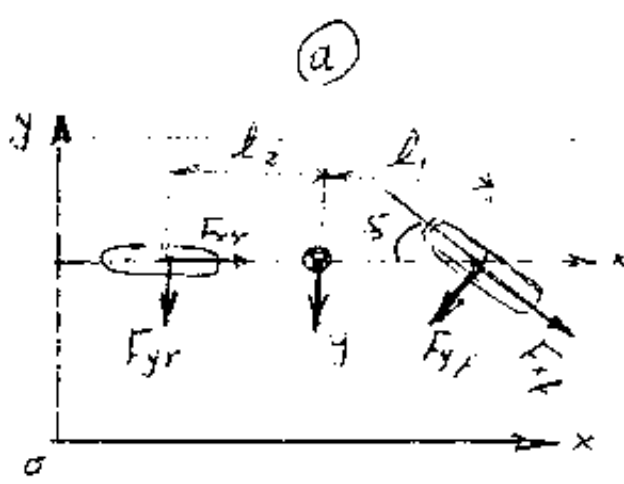


Fig 8 : Simplified vehicle model for analysis

باعتبار سرعة المركبة في المحاور x و y هي v_x و v_y على التوالي.

$$m(v_x - v_y \Omega_z) = F_{xp} \cos \delta + F_{xr} - F_{yp} \sin \delta \quad (8)$$

$$m(v_y + v_x \Omega_z) = F_{yr} + F_{yp} \cos \delta + F_{xp} \sin \delta \quad (9)$$

$$I_z \dot{\Omega}_z = l_1 F_{yp} \cos \delta - l_2 F_{yr} + l_1 F_{xp} \sin \delta \quad (10)$$

حيث I_z هي لحظة القصور الذاتي للمركبة حول Z . l_1 و l_2 هي مسافات القوى F_{yp} و F_{yr} من مركز المركبة على التوالي.

فإذا تم أخذ المركبة في حالة قصور ذاتي فإحداثياتها في المحاور x و y تكون v_x و v_y على التوالي. β_1 و β_2 هما الزوايا بين المحاور x و y وبين اتجاهي السرعة v_x و v_y على التوالي.

assumptions :

$$\beta_1 = \delta - \frac{v_y + l_1 \Omega_z}{v_x} \quad (11)$$

$$\beta_2 = \frac{l_2 \Omega_z - v_y}{v_x} \quad (12)$$

المقصود من الافتراضات السابقة هو تبسيط المعادلات والحصول على علاقات بسيطة بين المتغيرات.

$$S_f : F_{yp} = 2C_{yf} \cdot \beta_1 \quad (13)$$

$$S_r : F_{yr} = 2C_{yr} \cdot \beta_2 \quad (14)$$

بعد تبسيط المعادلات (8) و (9) و (10) و (11) و (12) و (13) و (14) نحصل على المعادلات (15) و (16) و (17).

$$m \dot{v}_y + \left[m v_x + \frac{2l_1 C_{yf} - 2l_2 C_{yr}}{v_x} \right] \Omega_z + \left[\frac{2C_{yf} + 2C_{yr}}{v_x} \right] v_y = 2C_{yf} \cdot \delta(t) \quad (15)$$

$$I_z \dot{\Omega}_z + \left[\frac{2l_1^2 C_{yf} + 2l_2^2 C_{yr}}{v_x} \right] \Omega_z + \left[\frac{2l_1 C_{yf} - 2l_2 C_{yr}}{v_x} \right] v_y = 2l_1 C_{yf} \cdot \delta(t) \quad (16)$$

حيث $\delta(t)$ هي دالة دلتا كرونكر التي تساوي 1 عند $t=0$ و 0 في باقي الأوقات.

(*) Directional stability

وهي تماثل في وقت الميل على
موازاة اتجاه الحركة ضد المؤثرات التي بها

The equations of lateral motions are cast of (L.D.E) with const. coeff. as shown in eqns (15) & (16).

عندما تتعرض المركبة الاثابتة اولى لاضراب (الرياح) ، تتغير زواياها ، لا يخرج ما
السرعة الاضطرابية في السرعة التي يسبقها v_y و v_z و ψ تتغير ،
exponentially v_y و v_z و ψ تتغير ،
(15) و v_y و v_z و ψ تتغير ،
تكون الزوايا غير مستقرة ايها

- (1) $\psi > 0$ & real $\Rightarrow \Omega_z$ & v_y increase exponentially with (t) .
- (2) $\psi < 0$ & real \Rightarrow decrease exponentially with (t) .
- (3) ψ is complex with $(+)$ real part \rightarrow the motion will be oscillatory with increasing amplitudes (directionally unstable).
- (4) ψ is complex with $(-)$ real part \rightarrow the motions are oscillatory with decreasing amplitudes (directionally stable).

اذن راحة الاضطرابية التفاضلية للمركبة عند الاضطراب في الزوايا ψ .

بالاحصاء على قيم ψ ، نأخذ حل المعادلات التفاضلية للمركبة التي يسبقها (معادلات 15 و 16) فنحصل على:

$$v_y = A_1 e^{\psi t} \quad \text{--- (17)}$$

$$-v_z = A_2 e^{\psi t} \quad \text{--- (18)}$$

$$\dot{\psi} = A_3 \psi e^{\psi t} \quad \text{--- (19)}$$

$$-\dot{\psi} = A_4 \psi e^{\psi t} \quad \text{--- (20)}$$

بالاستعانة بالمعادلتين (19) و (20) و بعد دالها في معادلات (15) و (16) نحصل على:

$$m A_1 \psi + Q_1 A_1 + U_2 A_2 = 0 \quad \text{--- (23)}$$

$$I_z A_2 \psi + U_3 A_1 + U_4 A_2 = 0 \quad \text{--- (24)}$$

where $U_1 = \frac{2C_{xp} + 2C_{xr}}{V_x}$; $U_2 = \frac{m V_x^2 + 2k_1 C_{xp} - 2k_2 C_{xr}}{V_x}$ } amplitude هي

$U_3 = \frac{2k_1 C_{xp} - 2k_2 C_{xr}}{V_x}$; $U_4 = \frac{2k_1^2 C_{xp} + 2k_2^2 C_{xr}}{V_x}$ } equations هي

والتي تكون على الحل غير المتجانس في ψ ، والتي هي المعادلات (23) و (24) و v_y و v_z و ψ تتغير ،

$$\begin{vmatrix} m\psi + a_1 & a_2 \\ a_3 & I_z \psi + a_4 \end{vmatrix} = 0 \quad \text{---(25)}$$

و نوع المبرور في وقتها يكون حاد

$$m I_z \psi^2 + (I_z a_1 + m a_4) \psi + (a_1 a_4 - a_2 a_3) = 0 \quad \text{---(26)}$$

إذا كان كلا التوسعين في المبرور حاداً أو حاداً واحداً يكون

سبب معين negative real part

معنى complex no having (-) real part

وعند $I_z a_1 + m a_4$ هو دائماً موجب (الترتيب) $(a_4 < a_1)$ فإن $I_z a_1 + m a_4$ دائماً موجب

بنوعه ي

if $a_1 a_4 - a_2 a_3 > 0 \rightarrow$ vehicle is directionally stable

or $L + \frac{v_x^2}{g} - k_{us} > 0 \quad \text{---(27)}$

تأكد بعد ذلك (27) عند سرعة k_{us} (موجب)

وهذا يعني عند سرعة "منخفضة" أو "أقل" (understeer) ستكون متوازنة، أي $k_{us} > 0$ وهذا سيكون k_{us} (سالب) ستكون $k_{us} < 0$

① vehicle is directionally stable

تأكد عند سرعة "أقل"

$$v_x < \sqrt{\frac{g L}{-k_{us}}} \quad \text{---(28)}$$

② vehicle is directionally unstable

إذا كانت سرعة

$$[v_x \geq v_{crit.}]$$

(Steady state Response to starting Input) توضیح: به صورتی که در آن سرعت ثابت است

$$G = 9.919 \text{ kN} \Rightarrow m = 9919 / 9.81 = 1011 \text{ kg}$$

$$I_z = 1031 \text{ kg} \cdot \text{m}^2$$

$$V_x = 80.5 \text{ km/h} = 22.36 \text{ m/s}$$

$$a_1 = \frac{2C_{x_f} + 2C_{x_r}}{V_x} = \frac{2 \times 58.62 + 2 \times 71.36}{22.36} = [11.69] \text{ (1)}$$

$$a_2 = \frac{m \dot{V}_x^2 + 2k_1 C_{x_f} - 2k_2 C_{x_r}}{V_x}$$

$$= \frac{1011(22.36)^2 + 2 \times 1.22 \times 58.62 - 2 \times 1.04 \times 71.36}{22.36}$$

$$a_2 = 22605.7$$

$$a_3 = \frac{2k_1 C_{x_f} - 2k_2 C_{x_r}}{V_x} = \frac{2 \times 1.22 \times 58.62 - 2 \times 1.04 \times 71.36}{22.36}$$

$$a_3 = -0.241$$

$$a_4 = \frac{2(1.22)^2 \times 58.62 + 2(1.04)^2 \times 71.36}{22.36} = 10.8$$

$$\begin{vmatrix} 1011 + 11.69 & 22605.7 \\ -0.241 & 1031 + 10.8 \end{vmatrix} = 0$$

$$1042341 \psi^2 + 10918.8 \psi + 12052.4 \psi + 126.25$$

$$+ 5447.97 = 0$$

$$1042341 \psi^2 + 22971.2 \psi + 5574.22 = 0$$

Vertical Dynamics

1

* Human Response to vibration

vibrational parameters are in general

- Displacement
- velocity
- acceleration & jerks ^{تسارع و اهتزاز} over the frequency range of interest.

The sources of vibration of the vehicle may be due to

1. road roughness
2. unbalance of the engine
3. The whirling of shafts ^{التواء المحاور}
4. The cam forces
5. The torsional fluctuations

The assessment of human response to vibration is complex in that results are influenced by the variations in individual sensitivity.

The vibration may be $\left\{ \begin{array}{l} \text{Free vibration} \\ \text{forced vibration} \end{array} \right.$

The free vibration may occur when the vehicle passes over an isolated irregularity in the road surface which may be

The forced vibration may result when disturbances occur persistently, such as passing over obstacles on a proving road.

The following Fig. shows criteria for vertical vibration

1. Zone 1-6 Hz comfortable
Zone line with constant jerk = 12.6 m/s^3
2. Zone (6-20 Hz)
with const. acceleration = 0.33 m/s^2
3. Zone (20-60) Hz
with const. velocity = 2.7 mm/s

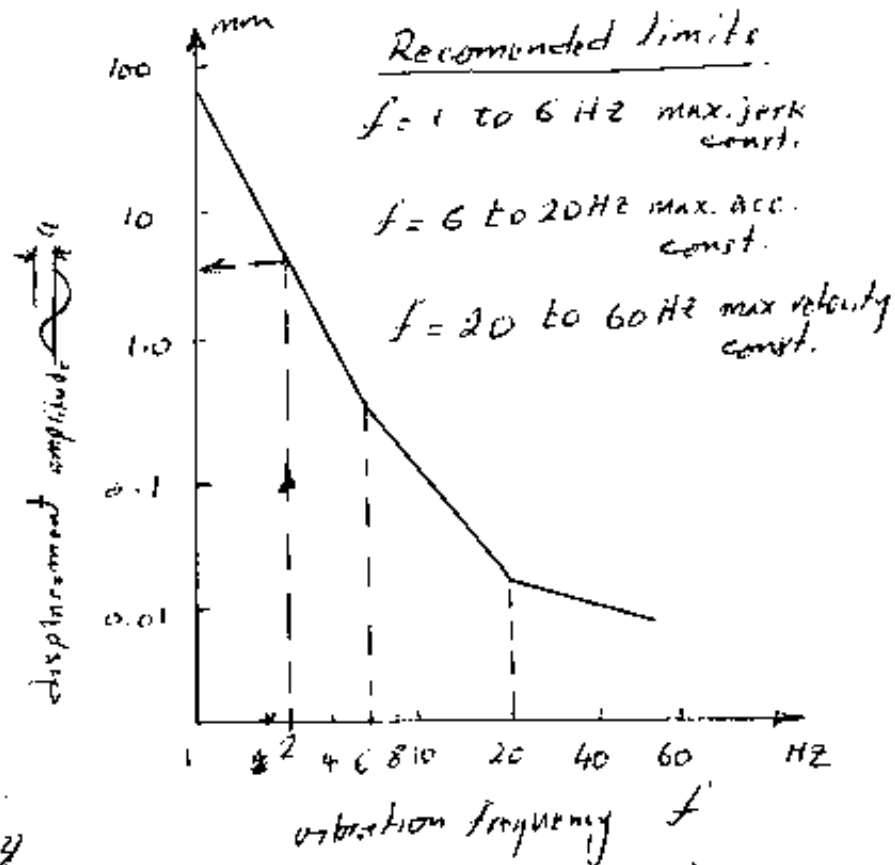


Fig 1: limits of vertical vibration recommended by JAWWAY (S. A.E.)

∴

$$a\omega^3 = 12.6 \text{ m/s}^3 \text{ in zone (1-6 Hz)}$$

$$a\omega^2 = 0.33 \text{ m/s}^2 \text{ " (6-20 Hz)}$$

$$a\omega = 2.7 \text{ mm/s " (20-60 Hz)}$$

where a - amplitude
 ω - circular frequency

[$1 \text{ Hz} = 2\pi \text{ rad/sec.}$] if the frequency $f = 2 \text{ Hz}$, it will yield the 1st. upper law

$$a\omega^3 = 12.6$$

$$a(2 \times 2\pi)^3 = 12.6 \Rightarrow a = 6.3 \text{ mm}$$

الحدود المسموحة للاهتزازات الرأسية (المنطقة 1) عند تردد 2 هرتز، حيث تكون التسارع ثابتاً (12.6 م/س³)، مما يؤدي إلى سعة اهتزاز مقدارها 6.3 ملم.

• period of oscillation: The time in second during which the body completes one full cycle.

• frequency of excitation: $f = \frac{1}{T}$, the no. of cycles taking place in a unit of time
cycles/sec. [Hertz]

• Amplitude: Max. displacement from the equilibrium position

• Jerk: Rate of change of acceleration [m/s³]

من العلوم ان نظرية العالين للركبات هي نظرية تصف حركة المركبة و
سائر المركبات عن التورج المسطحة فركبتا من حركة المركبة
(bounce & pitching) المركبات motions

• The natural frequency of bouncing & pitching

motion are of the same order of magnitude and generally less than (1Hz). The wheels move up & down with greater rapidity having natural frequency (6-10 times greater than that of the body motions).

وهذا التردد الطبيعي في natural frequency بين حركة الجسم (bounce & pitching) (pitch)

The vibration causes human discomfort.

The acceleration in vibratory motion is directly proportional to both (amplitude (a) & frequency (f), discomfort is equally dependant on both of these factors.

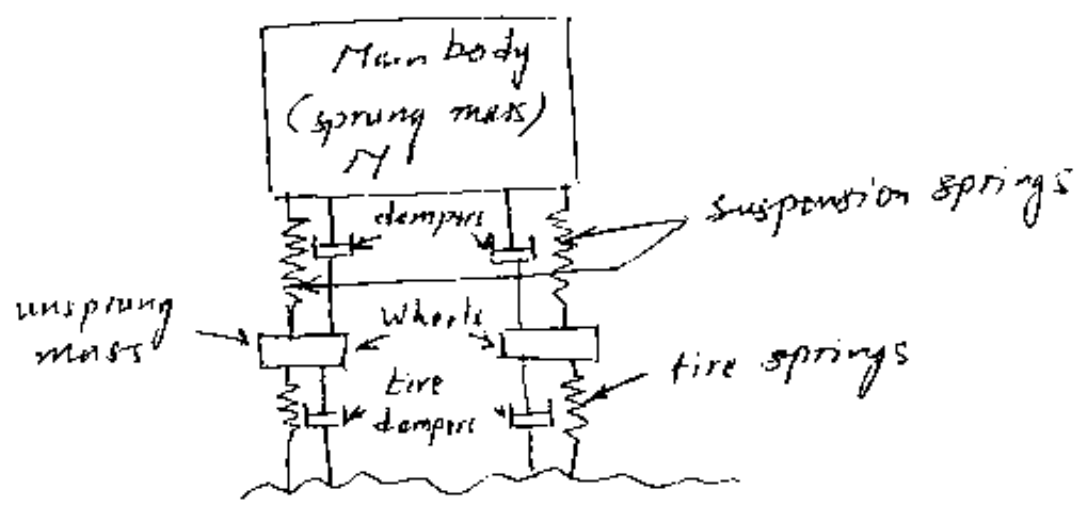
on the basis of experimental results the so-called "comfort curve" corresponds approximately to the eqn.

$$[a f^{2.7} = 127500]$$

where a - is amplitude of displacement [cm]
 f - " frequency of vibration [cm/min]

ولذلك يقال ان مستوى الراحة في مستوى السرعة، فانحراف سيارتنا

- vertical } of the vehicle body. The vehicle body is
 - rotational } represented by a sprung mass which is constrained by
 springs and dampers shown in (Fig 2) below



⊗ vehicle vibration with single Degree of Freedom

نظام منظرية التخميد لكتلة تذبذب بدرجة واحدة

The mass (M) supported on spring of stiffness K (kg/cm) with a damper having damping coefficient c (kg/cm/s) [kg/s], the excitation is represented by $F(t)$. $x(t)$ - displacement at any time

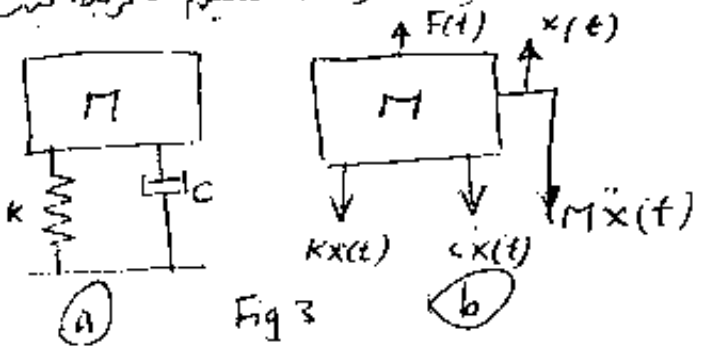


Fig 3

The (F.B.D) is shown in (Fig 3b).

Now Newton's second law gives:

$$[F(t) - c\dot{x}(t) - kx(t) = M\ddot{x}(t)] \quad \text{--- (1)}$$

Let $\frac{c}{M} = 2\xi\omega_n$ } ω_n هو التردد الطبيعي غير المخمد
 $\frac{k}{M} = \omega_n^2$ } ω_n هو التردد الطبيعي غير المخمد
 $\frac{F(t)}{k} = f(t)$ } (أي نسبة القوة إلى الصلابة)

$$[\ddot{x}(t) + 2\xi\omega_n\dot{x}(t) + \omega_n^2x(t) = \omega_n^2 f(t)] \quad \text{--- (2)}$$

where ξ is the damping ratio and ω_n is the undamped natural frequency.

⊕ Free vibration In this case $F(t) = 0$

equ. (2) becomes

$$[\ddot{x}(t) + 2\xi\omega_n\dot{x}(t) + \omega_n^2x(t) = 0] \quad \text{--- (3)}$$

The solution of equ. (3) $\Rightarrow x = Ae^{\lambda t}$ --- (4)

بما أننا افترضنا أن الحل هو $x = Ae^{\lambda t}$ في المعادلة (3) نجد أن:

$$\lambda^2 + 2\xi\omega_n\lambda + \omega_n^2 = 0 \quad \text{--- (5)} \Rightarrow \lambda_{1,2} = -\xi\omega_n \pm \omega_n\sqrt{\xi^2 - 1}$$

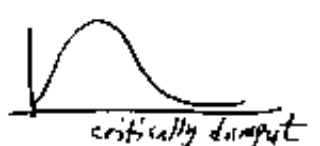
hence the solution becomes

$$[x = A_1e^{\lambda_1 t} + A_2e^{\lambda_2 t}] \quad A_1, A_2 = \text{const.}$$

* Three cases ① when $\xi > 1 \Rightarrow \lambda_1, \lambda_2$ are (-) & (x(t)) decreases with increase of (t)



② critically damped case $\xi = 1$ & $\lambda_1 = \lambda_2 = \lambda$ the solution is given by $x(t) = (A_1 + A_2t)e^{\lambda t}$



③ under-damped case

This is our interest in which the system vibrates [$\xi < 1$]

The sol. is
$$x(t) = e^{-\xi\omega_n t} (A_1 e^{i\omega_d t} + A_2 e^{-i\omega_d t})$$

$$= e^{-\xi\omega_n t} (B_1 \cos \omega_d t + B_2 \sin \omega_d t)$$

المطلوب

$$[x(t) = B e^{-\xi\omega_n t} \cos(\omega_d t - \phi)] \quad \text{--- (6)}$$

where B, B_1, B_2 & ϕ are constants & depends upon initial conditions

$$B = \sqrt{B_1^2 + B_2^2} \quad \text{--- (7)}$$

$$B_1 = B \cos \phi \quad \text{--- (8)}$$

$$B_2 = B \sin \phi \quad \text{--- (9)}$$

$$\tan \phi = \frac{B_2}{B_1} \quad \text{--- (10)} \quad \& \quad \omega_d = \omega_n \sqrt{1 - \xi^2} \quad \text{--- (11)}$$

is called the damped natural frequency

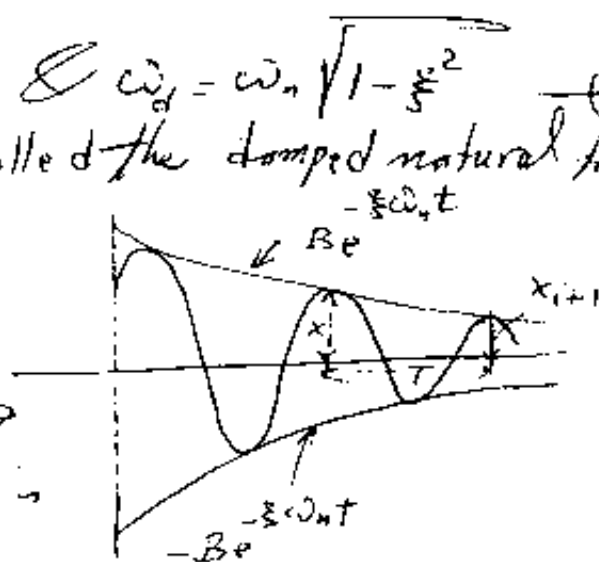
The response $x(t)$ oscillates within an envelope defined by $[x = \pm B e^{-\xi\omega_n t}]$ →

The ratio of successive amplitude is given by

$$\frac{x_i}{x_{i+1}} = \frac{e^{-\xi\omega_n t_i}}{e^{-\xi\omega_n (t_i + T)}} \quad \text{--- (12)} \quad (\text{Fig 4})$$

$$\frac{x_i}{x_{i+1}} = e^{\xi\omega_n T} = e^{\frac{2\pi\xi}{\sqrt{1-\xi^2}}} \quad \text{--- (13)}$$

where T is the time period $T = \frac{1}{f_d} = \frac{1}{\omega_n \sqrt{1-\xi^2}} = \frac{2\pi}{\omega_n \sqrt{1-\xi^2}}$



Now ln of two sides of equ. (13)

(7)

$$\ln \frac{x_i}{x_{i+1}} = \frac{2\pi \xi}{\sqrt{1-\xi^2}} \quad \text{if } \xi \ll 1 \text{ simplifies}$$

$$\left[\ln \frac{x_i}{x_{i+1}} = 2\pi \xi \right] \quad \text{--- (14)}$$

For no damping [$\xi = 0$] & the response is given by $[x(t) = B \cos(\omega_n t - \phi_1)]$ --- (15)

Ex The springs of a motor vehicle carry a total load of 1150 kgf & with equal springing front & rear, the combined spring rate is 90 kgf/cm. Calculate the frequency of vertical natural vibration with the dampers removed. If the dampers are adjusted to give a total damping force (4.5 kgf/cm/sec), calculate the frequency of damped vibrations and the ratio of the second downward movement to the 1st downward movement.

Sol. Given $B = 1150 \text{ kgf}$
 $k = 90 \text{ kgf/cm}$ $c = 4.5 \text{ kgf/cm/sec.}$

$$\text{Now } \omega_n = \sqrt{\frac{k}{M}} = \sqrt{\frac{\text{kgf}}{\text{G}}} = \sqrt{\frac{90 \times 981}{1150}} = 8.762 \text{ rad/sec.}$$

$$\therefore f_n = \frac{\omega_n}{2\pi} = \frac{8.762}{2\pi} = 1.394 \text{ Hz}$$

$$\text{Since } 2\xi\omega_n = \frac{c}{M} \Rightarrow \xi = \frac{c}{2\omega_n M} = \frac{4.5}{2 \times 8.762 \times \frac{981}{1150}}$$

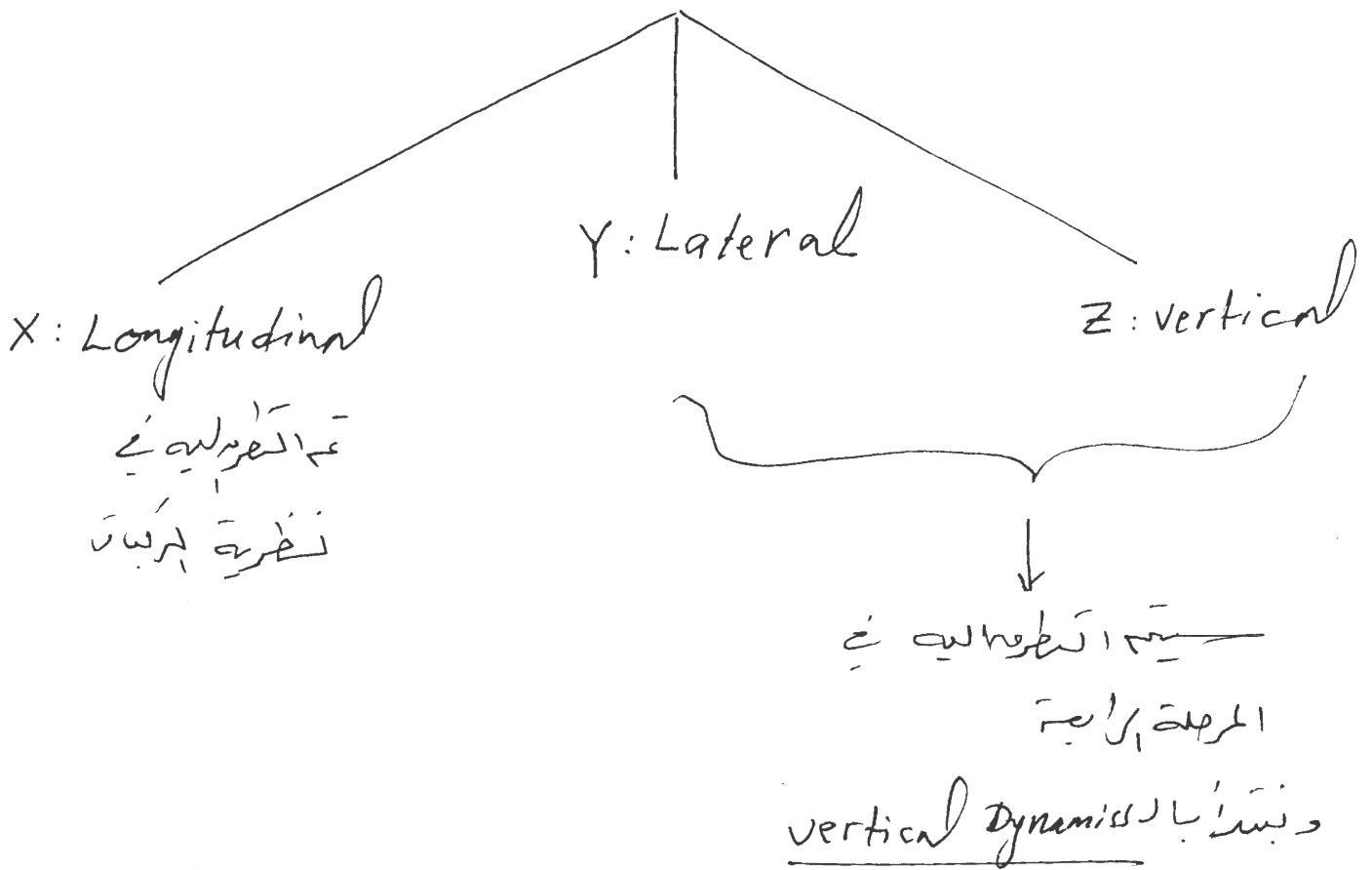
$$\xi = 0.219$$

$$\text{Now } f_d = f_n \sqrt{1-\xi^2} = 1.394 \sqrt{1-0.219^2} = 1.36 \text{ Hz}$$

$$\therefore \text{ratio of successive amplitudes} = \frac{e^{-2\xi\omega_n T}}{e^{-\pi f_n \xi}} = e^{\frac{-\pi \times 0.219}{\sqrt{1-0.219^2}}} = e^{-1.41} = \underline{0.244}$$

Vehicle Dynamics

It can be classified into



Def:

vibration : Any motion that repeats itself after an interval time is called "vibration or oscillation"

تعني نظرية الاهتزازات بدراسة الحركات الاهتزازية او التذبذبية للمركبة والقوى المرافقة لها. (التي لها علاقة بالموصلية).

الاهتزازات المنظرية تبين تحول او انتقال الطاقة الكامنة الى حركية واكثر الى حركية شديدة.

①

Def. of Vibration: Any motion that repeats itself after an interval of time is called "vibration or oscillation".

The theory of vibration deals with the study of oscillatory motions of bodies & the forces associated with them.

The vibration of a system involves the transfer of its potential energy to kinetic energy & kinetic energy to potential energy alternately.

تذبذب
اهتزاز
oscillation

③ Degree of freedom: The minimum number of independent coordinates required to determine completely the positions of all parts of a system at any instant of time. The simple pendulum shown in (Fig.) represent a single degree of freedom system.

هذا النظام له درجة حرية واحدة (single degree of freedom)

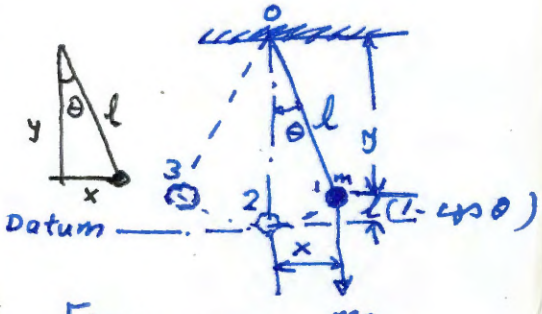
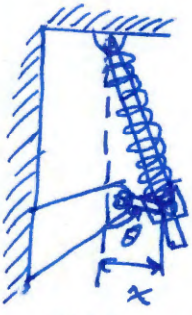
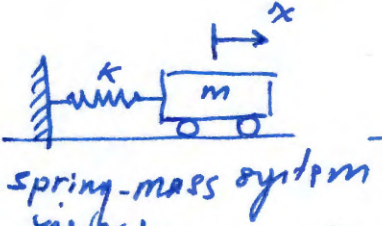


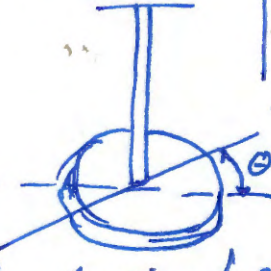
Fig 1: A simple pendulum



slider-crank
spring mechanism



spring-mass system

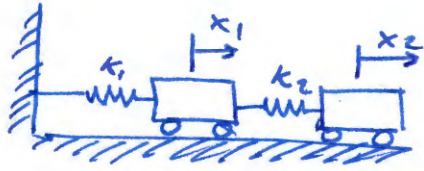


torsional system
(angular coordinate) θ

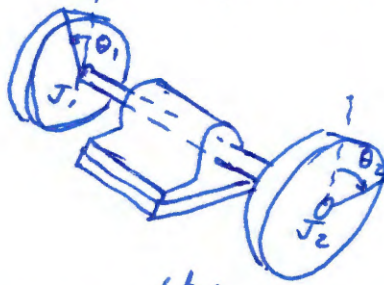
linear coordinate x

على الترتيب، لدينا، x و y هما إحداثيتان ديكارتية (Cartesian $(x \& y)$) مستقلة. $(x^2 + y^2 = l^2)$ هي معادلة دائرة نصف قطرها l في المستوى xy .

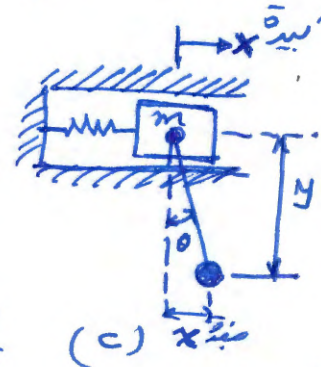
3
 اي عين التغير من قدرة البندول بسبب بزيادة (x, y) او (r, θ)
 (Fig 2) some examples of two degree of freedom system



(a)
 two mass - two spring system
 two linear coordinates
 (x1, x2)



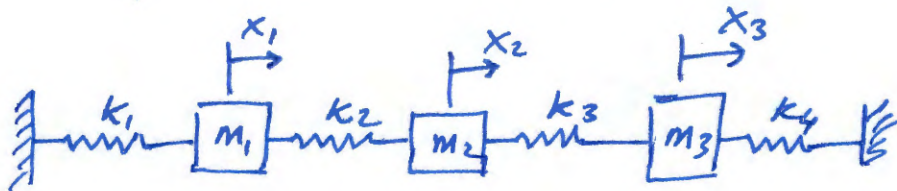
(b)
 two rotor system
 (theta2, theta1)



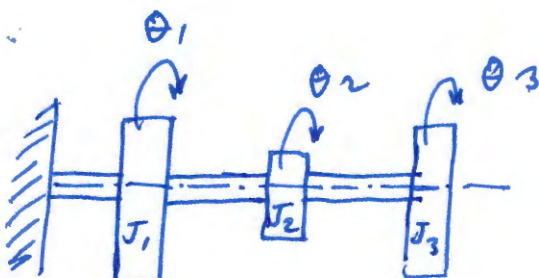
(c)
 two coordinates
 (x, theta)
 (x, y) (2)
 (theta, x) (1)

(Fig 2)
 Two degree of freedom system

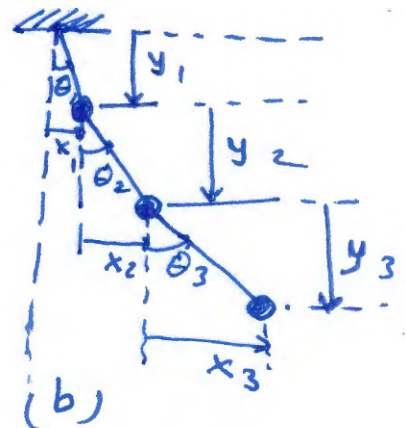
(Fig 3) some examples of three degree of freedom system



(a)



(c)



(b)

(Fig 3a & c) the coordinates x_i ($i=1, 2, 3$) & θ_i ($i=1, 2, 3$) can be used to describe the motion.
 r, theta, phi (i=1, 2, 3) specifies the position of the

3

٣٥٢
١١

4

(*) classification of vibration

vibration can be classified in several ways. Some of the important classification are as follows:

① Free vibration: If a system, after an initial disturbance, is left to vibrate on its own, the vibration known as free vibration. No external force acts on the system.
 ذبذبة الحرة: إذا كان النظام بعد اضطراب أولي، يُترك ليتذبذب بمفرده، فإن التذبذب يُسمى تذبذباً حراً. لا توجد قوة خارجية تؤثر على النظام.

② Forced vibration: If a system is subjected to an external force (often, a repeating type of force), the resulting vibration is known as forced vibration.
 التذبذب القسري: إذا كان النظام يتعرض لقوة خارجية (غالباً ما تكون من نوع متكرر)، فإن التذبذب الناتج يُسمى تذبذباً قسرياً.

الذبذبة القسرية تحدث عندما يُفرض على النظام قوة خارجية متكررة. إذا كان تردد القوة الخارجية يتطابق مع أحد الترددات الطبيعية للنظام، يحدث حالة تُسمى الرنين.
 If the frequency of the external force coincides with one of the natural frequencies of the system, a condition known as resonance occurs.
 عند الرنين، تزداد سعة التذبذب بشكل كبير، مما قد يؤدي إلى تلف النظام إذا لم يتم التحكم فيه.

③ Undamped vibration If no energy is lost or dissipated in friction or other resistance during oscillation the vibration is known undamped vibration.
 التذبذب غير المخمد: إذا لم يتم فقدان أو تبديد أي طاقة خلال التذبذب (بسبب الاحتكاك أو مقاومة أخرى)، يُسمى التذبذب تذبذباً غير مخمد.

④ Damped vibration If any energy is lost in this way (friction or other resistance during oscillation) the vibration is called damped vibration.
 التذبذب المخمد: إذا تم فقدان أي طاقة خلال التذبذب (بسبب الاحتكاك أو مقاومة أخرى)، يُسمى التذبذب تذبذباً مخمد.

4

5

5) Linear and Nonlinear vibration

If all the basic components of a vibratory system - the spring, the mass, and the damper - behave linearly, the resulting vibration is known as linear vibration. On the other hand, if any of the basic components behave nonlinearly, the vibration is called nonlinear vibration.

المكونات الأساسية لنظام اهتزازي - الربيع، الكتلة، والمخمد - تتصرف خطياً، فإن الاهتزاز الناتج يُعرف بالاهتزاز الخطي. أما إذا كان أي من المكونات الأساسية يتصرف بشكل غير خطي، فإن الاهتزاز يُسمى بالاهتزاز غير الخطي.

6) Deterministic vibration

If the value of magnitude of the excitation (force or motion) acting on a vibratory system is known at any given time, the excitation is called deterministic. The resulting vibration is known as deterministic vibration.

7) Random vibration

In some cases, the excitation is non-deterministic or random; the value of the excitation at a given time cannot be predicted.

In these cases, a large collection of records of the excitation may exhibit some statistical regularity. It is possible to estimate averages such as

- mean values of excitation
- mean square values of excitation

في بعض الحالات، فإن الإثارة غير حتمية أو عشوائية؛ لا يمكن التنبؤ بقيمة الإثارة في وقت معين. في هذه الحالات، فإن مجموعة كبيرة من سجلات الإثارة قد تظهر بعض الانتظام الإحصائي. من الممكن تقدير المتوسطات مثل

5

ಇದರಲ್ಲಿ ಒಂದು ಸ್ವತಂತ್ರ ಸ್ಥಾನಮಾನವು ಇರುತ್ತದೆ.

6

Free vibration of Single Degree of Freedom (SDF)

1-1 Force summation method (Newton's Method)
Any system possessing mass and elasticity is capable of vibration.

The system possesses one degree of freedom since its motion is described by a single coordinate x . (Fig 4).

When placed into motion, oscillation will take place at the natural frequency

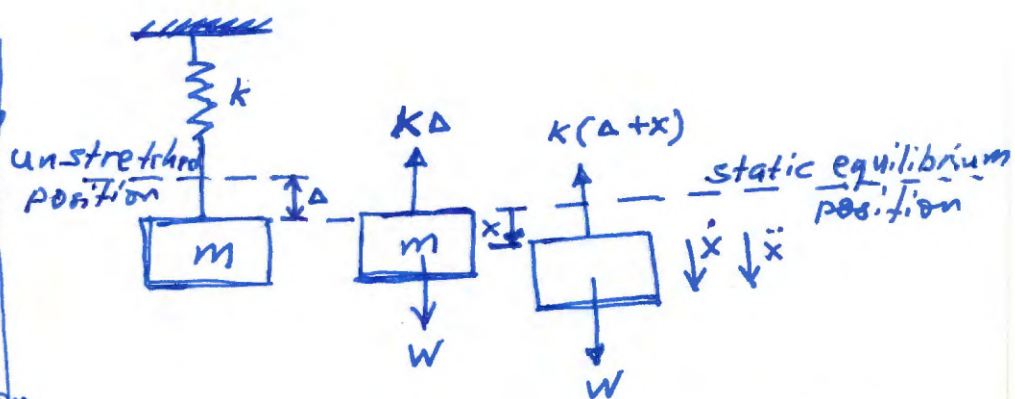


Fig 4 : Spring-mass system and F.B.D

f_n which is a property of the system. Newton's 2nd law is 1st basis for examining the motion of the system. As shown in Fig 4 the deformation of the spring in the static equilibrium position is Δ & spring force $K\Delta$ is equal to gravitational force W acting on the mass m :

$$K\Delta = W$$

(1)

Measuring the displacement x from the static equilibrium position, the forces acting on m are $K(\Delta+x)$ and W . with x chosen to be positive in the downward direction, all quantities - forces, velocity & acceleration - are also positive in the downward direction.

بتطبيق قانون نيوتن الثاني على الكتلة m يكون

$$m\ddot{x} = \sum F = W - k(\Delta + x)$$

وبما أنه $(k\Delta = W)$ - معادلة (1) - تتحول المعادلة إلى

$$m\ddot{x} = \cancel{k\Delta} - \cancel{k\Delta} - kx$$

$$\therefore m\ddot{x} = -kx \quad \text{--- (2)}$$

Defining the circular frequency (ω_n) by the equation

$$\omega_n^2 = \frac{k}{m} \quad \text{--- (3)}$$

فيتمتع المعادلة (2) على m تتحول إلى

$$\ddot{x} + \omega_n^2 x = 0 \quad \text{--- (4)}$$

والمعادلة (4) تمثل حركة توافقية بسيطة (harmonic)

التي
تسمى
بالحركة
التوافقية
بسيطة

Equ. (4) a homogeneous 2nd o. linear D.E. has the following general solution:

$$[x = A \sin \omega_n t + B \cos \omega_n t] \quad \text{--- (5)}$$

Where A & B are the two necessary constants.

وهذه التوابيع تحد من شروط الابتدائية $x(0)$, $\dot{x}(0)$

Equ. (5) can be shown to reduce to:

$$x = \frac{\dot{x}(0)}{\omega_n} \sin \omega_n t + x(0) \cos \omega_n t \quad \text{--- (6)}$$

The natural period of oscillation is established from

$$\omega_n T = 2\pi \quad \text{OR} \quad T = 2\pi \sqrt{\frac{m}{k}} \quad \text{--- (7)}$$

$$\& \text{ natural frequency } f_n = \frac{1}{T} = \frac{1}{2\pi} \sqrt{\frac{k}{m}} \quad \text{--- (8)}$$

(7)

As with the torsional pendulum, in which case Newton's 2nd law :

$$J\ddot{\theta} = \Sigma M$$

— (9)

المعادلة

الديناميكية

(1-2)

The Energy Method

الطاقة الميكانيكية

In a conservative system the total energy is constant. and the diff. equation of motion can be established by the principle of conservation of energy. قانون حفظ الطاقة

وفي الاهتزازات الحرة لنظام الاهتزازية غير المتبددة فان مجموع الطاقة الحركية Kinetic وجزء فان potential

$$T + U = \text{constant}$$

— (10)

توضع

$$\frac{d}{dt}(T + U) = 0$$

— (11)

نإذا كان لا مقام في الاهتزازات الطبيعية natural frequency it can be determined by the following consideration.

مع قانون حفظ الطاقة عين نتابع

$$T_1 + U_1 = T_2 + U_2$$

— (12)

صت 2 و 1 في وقتين مختلفتين

Let 1 be the time when the mass is passing through its static equilibrium position & choose $U_1 = 0$ as reference of potential energy.

Let 2 be the time corresponding to the maximum displaced of the mass. At this position, the velocity of

However, if the system is undergoing harmonic motion, then T_1 & U_2 are max. values, and hence

$$T_{\max.} = U_{\max.} \quad \text{--- (14)}$$

natural frequency (التردد الطبيعي) \Rightarrow

$$K.E \Rightarrow T_{\max} = \frac{1}{2} J \dot{\theta}_{\max}^2 = \frac{1}{2} J \omega_n^2 A^2 \quad (\dot{\theta}_{\max} = \omega_n \cdot A)$$

$$\& P.E \Rightarrow U_{\max.} = \frac{1}{2} k \theta_{\max}^2 = \frac{1}{2} k A^2$$

وعبارة أخرى، حسب (14)

$$\frac{1}{2} J \omega_n^2 A^2 = \frac{1}{2} k A^2$$

$$\therefore \omega_n^2 = \frac{k}{J}$$

$$\therefore \omega_n = \sqrt{\frac{k}{J}}$$

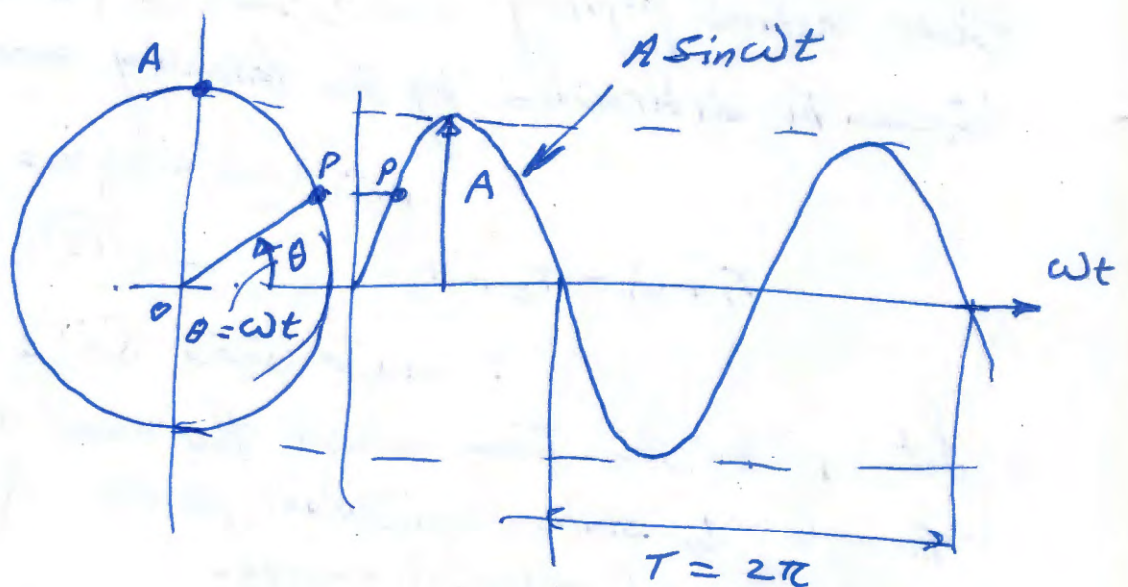


Fig 5 Harmonic motion

1-3 D'Alembert's Principle

(7)

The resultant force acting on the system

$$\Sigma F = W - k(\Delta + x)$$

$$\Rightarrow W = k\Delta$$

$$\Sigma F = kx$$

The inertia force $F_m = m\ddot{x}$

Applying principle of dynamic equilibrium, the sum of resultant force and inertia force acting on the system must be zero.

$$\Sigma F + F_m = 0$$

$\therefore [m\ddot{x} + kx = 0]$ this is the same equation (2, 4)

1.4 Rayleigh's Method

The motion of oscillation is assumed as simple harmonic motion.

$$\therefore x = X \sin \omega_n t$$

Exp $\Rightarrow x$: displacement of the body from the mean position after time t .

X : max. displacement from mean position to the extreme position

Differentiating, the velocity is:

$$\dot{x} = \omega_n X \cos \omega_n t$$

The max. Kinetic Energy

$$(KE)_{\max.} = \frac{1}{2} m (\dot{x})_{\max.}^2 = \frac{1}{2} m \omega_n^2 X^2$$

The max. potential energy is at extreme position, where $x = X$

$$\therefore (PE)_{\max.} = \frac{1}{2} k (x)_{\max.}^2 = \frac{1}{2} k X^2$$

As per Rayleigh's method

$$(KE)_{\max.} = (PE)_{\max.}$$

$$\frac{1}{2} m \omega_n^2 X^2 = \frac{1}{2} k X^2$$

$$m \omega_n^2 = k$$

$$\therefore \omega_n = \sqrt{\frac{k}{m}}$$

All the above methods give identical results and can be used to estimate natural frequency of the system.

(*) Natural Frequency

The natural circular frequency may be defined

as $\omega_n^2 = \frac{k}{m}$; the equ. 2 (6 vir)
can be rewritten as:

general solution

$$x = A \sin \omega_n t + B \cos \omega_n t \quad \text{--- (15)}$$

initial conditions \rightarrow $\left. \begin{matrix} A \\ B \end{matrix} \right\}$ ثوابت متباينة

$$\dot{x} = A \omega_n \cos \omega_n t - B \omega_n \sin \omega_n t \quad \text{--- (16)}$$

Eq. (15) can be expressed differently

a) Assume $A = X \cos \phi$ & $B = X \sin \phi$

$$\begin{aligned} \therefore x &= X (\sin \omega_n t \cos \phi + \cos \omega_n t \sin \phi) \\ \text{or } x &= X \sin (\omega_n t + \phi) \quad \text{--- (17)} \end{aligned}$$

b) Assume $A = X \cos \psi$ & $B = X \sin \psi$

$$\begin{aligned} \therefore x &= X (\sin \omega_n t \cos \psi + \cos \omega_n t \sin \psi) \\ \text{or } x &= X \sin (\omega_n t + \psi) \end{aligned}$$

Where X , ϕ & ψ are constants to be evaluated from initial conditions.

The above solutions shows that the system vibrates with frequency

$$\omega_n = \sqrt{\frac{k}{m}} \quad ; \quad \omega_n: \text{natural circular frequency of vibration.}$$

One cycle of motion is completed in an angle (2π) , therefore, the period of vibration is

$$T = \frac{2\pi}{\omega_n} = 2\pi \sqrt{\frac{m}{k}} \quad \text{--- (18)}$$

the natural linear frequency $f = \frac{1}{T} = \frac{1}{2\pi} \sqrt{\frac{k}{m}} \text{ [Hz]}$

$$W = k\Delta = mg$$

$$\frac{k}{m} = \frac{g}{\Delta}$$

$$\therefore \omega_n = \sqrt{\frac{g}{\Delta}}$$

$$\therefore T = 2\pi \sqrt{\frac{\Delta}{g}}$$

$$f_n = \frac{1}{2\pi} \sqrt{\frac{g}{\Delta}}$$

ω_n , T & f_n are functions of mass & stiffness of the system

100% 100% 100%

* Inertia Effect of Spring Mass

The mass and inertia effect of spring have been neglected in the above analysis. The same may be taken into account as follows:

Let - mass of spring wire / unit length = m'

- velocity of free end of spring at time $t = v$

- total length of spring wire = L

Consider a small length (dy) at a distance (y) measured round the spring coils from the fixed end.

K.E. of small element = $\frac{1}{2} \times \text{mass of element} \times (\text{velocity})^2$

$$= \frac{1}{2} (m' dy) \left(\frac{y}{L} v\right)^2$$

$$\text{K.E. of total spring} = \int_0^L \frac{1}{2} m' v^2 \left(\frac{y}{L}\right)^2 dy = \frac{1}{2} \frac{m' v^2}{L^2} \int_0^L y^2 dy$$

$$= \frac{1}{2} \frac{m' v^2}{L^2} \cdot \frac{1}{3} L^3 = \frac{1}{3} \times \frac{1}{2} (m' L) v^2$$

$$= \frac{1}{3} \left[\frac{1}{2} \times \text{mass of spring} \times (\text{velocity of free end})^2 \right]$$

\therefore K.E. of spring moving with the velocity of free end

Therefore, inertia effect of spring is equal to that of one-third mass of spring concentrated at its free end.

• Equivalent mass of the system at free end,
[$m_e = m + \frac{m'}{3}$] ; $m =$ suspended mass

$$f_n = \frac{1}{2\pi} \sqrt{\frac{k}{m_e}} = \frac{1}{2\pi} \sqrt{\frac{k}{m + \frac{m'}{3}}}$$

But the natural frequency of the system

$$f_n = \frac{1}{2\pi} \sqrt{\frac{k}{m}} = \frac{1}{2\pi} \sqrt{\frac{mg/\Delta}{m}} = \frac{1}{2\pi} \sqrt{\frac{g}{\Delta}}$$

where $\Delta =$ static deflection under suspended mass (m).

The static deflection (Δ) of a rod suspended vertically,

$$\Delta = \frac{mgL}{AE}$$

; A : cross-sectional area of rod
 L : length of rod
 E : Young's modulus of rod.

The frequency for this case is:

$$f_n = \frac{1}{2\pi} \sqrt{\frac{g}{\Delta}} = \frac{1}{2\pi} \sqrt{\frac{gAE}{mgL}} = \frac{1}{2\pi} \sqrt{\frac{AE}{mL}}$$

Taking the mass of the rod into account

$$f_n = \frac{1}{2\pi} \sqrt{\frac{AE}{(m + \frac{m'}{3})L}}$$

where m' : mass of rod.

* Longitudinal vibrations

ثلاثة مربوطة ببعض بعضاً في خطٍ مستقيم
 اتصال بين اللد واللمح.

Applying D'Alembert's principle of dynamic equilibrium

$$m\ddot{x} + kx = 0 \quad / m$$

$$\therefore \ddot{x} + \frac{k}{m}x = 0$$

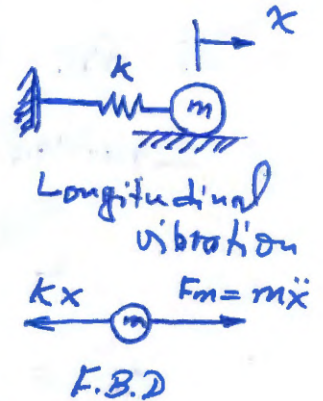
The above equation for simple harmonic motion can be written as

$$\ddot{x} + \omega_n^2 x = 0 \quad \text{--- (21)}$$

$$\omega_n^2 = \frac{k}{m} \quad \text{or} \quad \omega_n = \sqrt{\frac{k}{m}}$$

$$\therefore f_n = \frac{1}{2\pi} \sqrt{\frac{k}{m}} \quad (\text{Hz}) \quad \Rightarrow T = 2\pi \sqrt{\frac{m}{k}}$$

The general solution of equ. (21) will be $x = A \sin \omega_n t + B \cos \omega_n t$



* Torsional vibration

إذا دوَّرتنا القرص بزاوية θ حول محوره عمودي وترتفاه
 سوف يتولد عزم، كالتوازي التوائية.

The mass moment of inertia of rotor disk

$$I = \frac{1}{2} m k^2 = \frac{1}{2} m r^2$$

k : radius of gyration

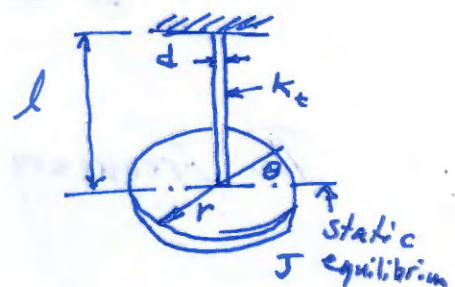
r : radius of rotor disk

m : mass of " "

The shaft equation is $\frac{T}{J} = \frac{G\theta}{l}$

The torsional resis. of shaft (k_t)

$$k_t = \frac{T}{\theta} = \frac{GJ}{l} = \frac{G}{l} \cdot \frac{\pi d^4}{32}$$



T : Torque
 J : Polar moment of inertia of shaft

$$J = \frac{\pi d^4}{32}$$

d : shaft dia.

G : modulus of rigidity

l : length of shaft

Applying D'Alembert's Principle of dynamic equilibrium ^{7/10/21}

$$I\ddot{\theta} + k_t \cdot \theta = 0 \quad / \quad I$$

$$\ddot{\theta} + \frac{k_t}{I} \cdot \theta = 0 \quad \text{--- (22)}$$

the equ. of harmonic motion will be

$$(22) \quad \ddot{\theta} + \omega_n^2 \cdot \theta = 0 \Rightarrow \hat{w} \quad \frac{k_t}{I} = \omega_n^2 \quad \therefore \omega_n = \sqrt{\frac{k_t}{I}}$$

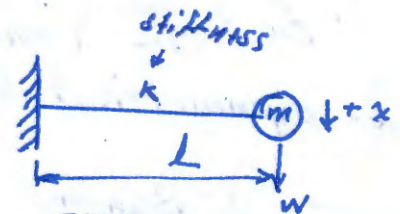
$$f_n = \frac{1}{2\pi} \sqrt{\frac{k_t}{I}} \quad (\text{Hz}) \quad \& \quad T = 2\pi \sqrt{\frac{I}{k_t}}$$

✓✓✓ ✓✓✓

* Transverse vibrations

1- Cantilever

$$\Delta = \frac{WL^3}{3EI}$$



Stiffness $k = \frac{\text{Load}}{\text{deflection}} = \frac{W}{\Delta} = \frac{3WEI}{WL^3} = \frac{3EI}{L^3}$

Where EI : flexural rigidity of the beam

The general equ. of motion for undamped free vibration is:

$$m\ddot{x} + kx = 0$$

$$\therefore m\ddot{x} + \frac{3EI}{L^3} x = 0 / m \Rightarrow \text{or } \ddot{x} + \frac{3EI}{mL^3} \cdot x = 0$$

the equ. of harmonic motion

$$\ddot{x} + \omega_n^2 \cdot x = 0 \quad \therefore \omega_n^2 = \frac{3EI}{mL^3}$$

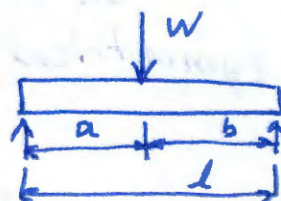
$$\therefore \omega_n = \sqrt{\frac{3EI}{mL^3}} \quad (\text{rad/sec.})$$

$$\therefore f_n = \frac{1}{2\pi} \sqrt{\frac{3EI}{mL^3}} \quad (\text{Hz})$$

2. Simply Supported Beam

The deflection

$$\Delta = \frac{wa^2b^2}{3EI} = \frac{mga^2b^2}{3EI}$$



Simply supported beam

vibration.

General eqn. for undamped free vibration is:

$$m\ddot{x} + kx = 0$$

$$m\ddot{x} + \frac{3EI L}{a^2 b^2} x = 0 / m \Rightarrow \ddot{x} + \frac{3EI L}{m a^2 b^2} x = 0$$

the eq. of harmonic motion is

$$\ddot{x} + \omega_n^2 x = 0 \quad \therefore \omega_n^2 = \frac{3EI \cdot l}{m a^2 b^2}$$

$$\therefore \omega_n = \sqrt{\frac{3EI \cdot l}{m a^2 b^2}} \text{ (rad/sec.)}$$

$$\therefore f_n = \frac{1}{2\pi} \sqrt{\frac{3EI L}{m a^2 b^2}} \text{ (Hz)}$$

for symmetrical loading $a = b = \frac{l}{2} \Rightarrow f_n = \frac{1}{2\pi} \sqrt{\frac{48EI}{m l^3}} \text{ (Hz)}$

③ Fixed Beams

The deflection $\Delta = \frac{m g a^3 b^3}{3EI L^3}$

The stiffness $k = \frac{3EI L^3}{a^3 b^3}$

general eq. for undamped free vib.

$$m\ddot{x} + kx = 0 \Rightarrow m\ddot{x} + \frac{3EI L^3}{a^3 b^3} x = 0$$

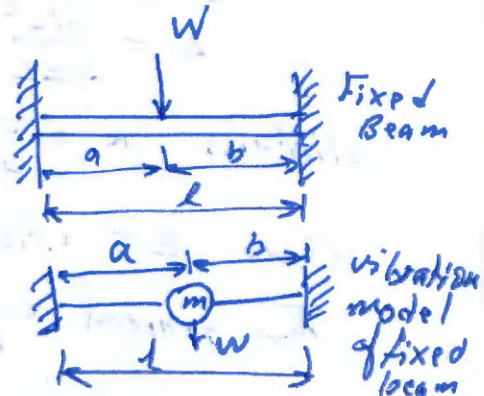
the eq. of harmonic motion is

$$\ddot{x} + \omega_n^2 x = 0 \quad \therefore \omega_n^2 = \frac{3EI L^3}{m a^3 b^3} \Rightarrow \omega_n = \sqrt{\frac{3EI L^3}{a^3 b^3 \cdot m}}$$

$$\therefore f_n = \frac{1}{2\pi} \sqrt{\frac{3EI L^3}{m a^3 b^3}} \text{ Hz}$$

For symmetrical loading $a = b = \frac{l}{2}$

$$f_n = \frac{1}{2\pi} \sqrt{\frac{192EI}{m l^3}} \text{ (Hz)}$$



where ω_n - natural frequency
 Z - amplitude of bounce motion
 H - " " pitch motion

جس (27) (26) في المعادلتين (31) (30) بقوت المعادلتين
 58 57 62 61

$$(D_1 - \omega_n^2) Z + D_2 H = 0 \quad \text{--- (32) (24)}$$

$$\left(\frac{D_2}{r_y^2}\right) Z + (D_3 - \omega_n^2) H = 0 \quad \text{--- (33) (25)}$$

solving the above equations, one obtains the frequency equation for the principal modes:

$$\omega_n^4 - (D_1 + D_3) \omega_n^2 + (D_1 D_3 - \frac{D_2^2}{r_y^2}) = 0 \quad \text{--- (34) (26)}$$

ω_{n1} & ω_{n2} (2 natural frequencies) جس (34) واصل ω

$$\omega_{n1}^2 = \frac{1}{2} (D_1 + D_3) - \sqrt{\frac{1}{4} (D_1 - D_3)^2 + \frac{D_2^2}{r_y^2}} \quad \text{--- (35) (27)}$$

$$\omega_{n2}^2 = \frac{1}{2} (D_1 + D_3) + \sqrt{\frac{1}{4} (D_1 - D_3)^2 + \frac{D_2^2}{r_y^2}} \quad \text{--- (36) (28)}$$

These frequencies for coupled motions ω_{n1} & ω_{n2} always lie outside of the frequencies for uncoupled motions ω_{nx} & ω_{no} .

The amplitude ratios From eqs (32), (33) of the bounce and pitch oscillations for the two natural frequencies ω_{n1} & ω_{n2} can be determined: (29)

For ω_{n1} $\frac{Z}{H} \Big|_{\omega_{n1}} = \frac{D_2}{\omega_{n1}^2 - D_1} \quad \text{--- (37) 68}$

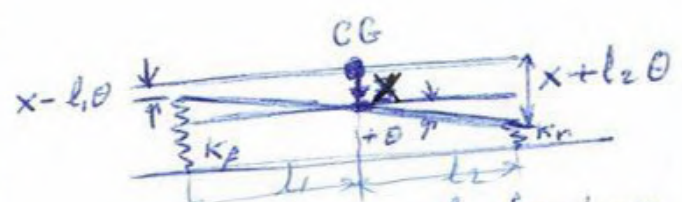
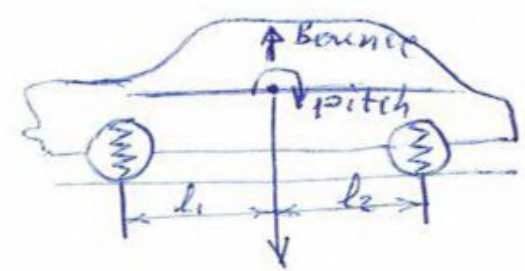
& For ω_{n2} $\frac{Z}{H} \Big|_{\omega_{n2}} = \frac{D_2}{\omega_{n2}^2 - D_1} \quad \text{--- (38) 69}$

} these ratios will have opposite signs

* Two - Degrees - of - Freedom Vehicle Model

for pitch & Bounce (صفحة من كتاب) (طبايع المرواح)

The up & down linear motion (bounce) & the angular motion (pitch) of the vehicle body & the motion of the wheels may be considered to exist almost independently.



A two - degrees - of - freedom ride model for pitch & bounce of the sprung mass

Referring to (Fig →), We can study the two motions. By (Newton's 2nd law) & using the static equilibrium position as the origin for both the linear displacement of the (x) and angular displacement of the vehicle body (θ), the equations of motion for the system can be formulated:

$\Sigma F = ma$ & $\Sigma M = I\alpha$

The equation of motion for vertical motion (bounce)

$m\ddot{x} = -k_f(z - l_1\theta) - k_r(z + l_2\theta)$... (16) (24) (55) & bounce

$I_y\ddot{\theta} = m_s r_y^2 \ddot{\theta} = k_f l_1 (z - l_1\theta) - k_r l_2 (z + l_2\theta)$... (56) (17) pitch

where k_f, k_r - is the front & rear stiffness respectively
 I_y - mass moment of inertia
 r_y - radius of gyration of the vehicle body about (y-axis)

Assume that

$$D_1 = \frac{1}{m_s} (k_f + k_r)$$

$$D_2 = \frac{1}{m_s} (k_r l_2 - k_f l_1)$$

$$D_3 = \frac{1}{I_y} (k_f l_1^2 + k_r l_2^2) = \frac{1}{m_s \cdot r_y^2} (k_f l_1^2 + k_r l_2^2)$$

في هذه الحالة (25) و (24) تصبح كالتالي:

$$\ddot{z} + D_1 z + D_2 \theta = 0 \quad \text{--- (26) (57) ' 8}$$

$$\ddot{\theta} + D_3 \theta + \frac{D_2}{r_y} z = 0 \quad \text{--- (27) (58) ' 9}$$

D_2 - is the coupling coefficient for the (bounce) & (Pitch) motions.

These motion uncouple when $(k_f \cdot l_1 = k_r \cdot l_2)$ with this condition a force applied to the CG induces only (bounce motion), while a moment applied to the body produces only (pitch motion). In this case, the natural frequencies for the uncoupled bounce & pitch motions are

$$\omega_{nz} = \sqrt{D_1} \quad \text{--- (59) 20}$$

$$\omega_{n\theta} = \sqrt{D_3} \quad \text{--- (28) 21}$$

~~(D₂)~~ $D_2 = 0$

في الحالة العامة

In general, the pitch & bounce motions are coupled and an impulse at the front or rear wheels excites both motions.

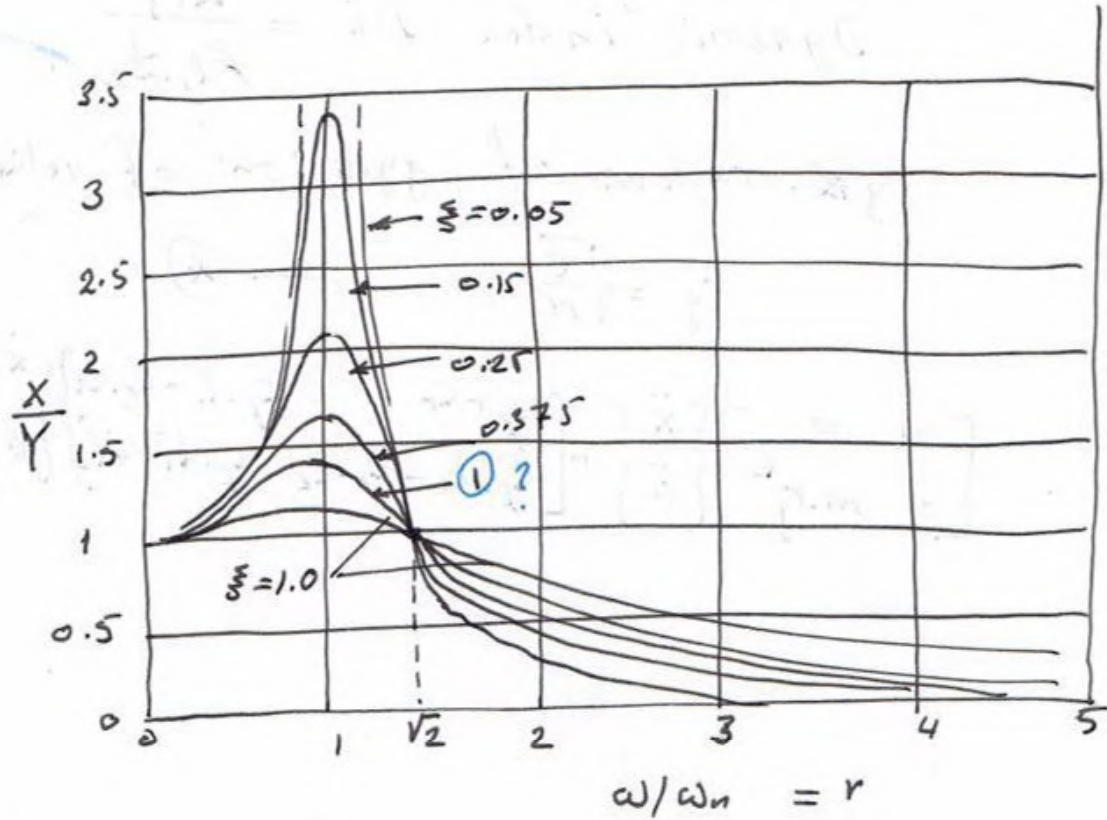
The solutions of equation (24), (25) can be expressed in the following form

$$z = Z \cos \omega_n t \quad \text{--- (30) (22) 61}$$

$$\theta = \Theta \cos \omega_n t \quad \text{--- (31) (23) 62}$$

در رسم المعادلة ب بتم هو لان في نقل ادنا

لا هذا في ٤/٤/٢٠١٦



لا فقط من التردد الممدد فاذا كانت $\frac{\omega}{\omega_n} > \sqrt{2}$ فان ازاحة كتلة المركبة (التلة المعلقة) ستكون اقل من ازاحة التلة غير المعلقة.

In fact the natural frequency of the unsprung mass system should be much greater than that of the vehicle mass.

وهناك طريقتان لمعرفة ω هذا الشيء، يا استدعاء المعادلات

(ارادتي) $\omega_n = \sqrt{\frac{k}{m}}$ (rad/sec)

وتساؤله بان عبارة الاطار هي ايه من عبارة تروايض التعليق.

وثانياً - صمم السيارة نفترض ان يضع في الاعتبار انه التلة غير المعلقة صغيرة (تيلة) قد يستطاع.

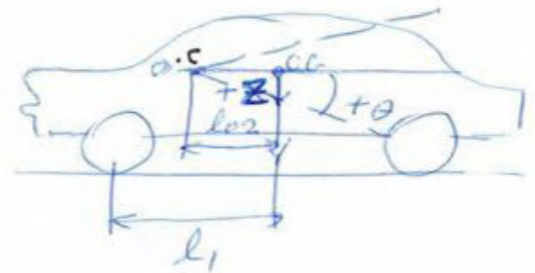
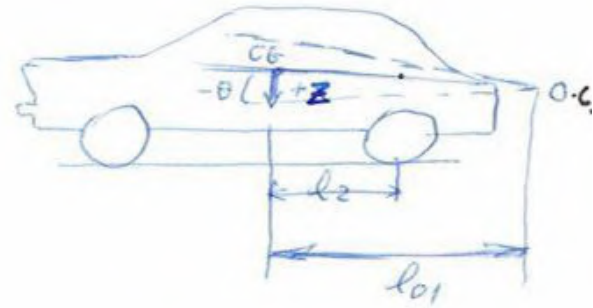
The location of the o.c. (oscillation center) is denoted by (l_0)

measured from the CG & can be determined from the amplitude ratios. Thus, one center is associated with ω_{n1} & other with ω_{n2} .

l_0 : is the distance between CG & o.c.

center of oscillation:

The point where the body is oscillating about.



oscillation center for pitch & bounce of sprung mass

For ω_{n1} $l_{o1} = \frac{D_2}{\omega_{n1}^2 - D_1}$ --- (39) (31)

For ω_{n2} $l_{o2} = \frac{D_2}{\omega_{n2}^2 - D_1}$ --- (40) (32)

- When the value of amplitude ratios is (-), the o.c. will be located to the right of the CG of the vehicle body.
- When the value of amplitude ratio (l_0) is (+), the o.c. will be located to the left of CG of the vehicle body.

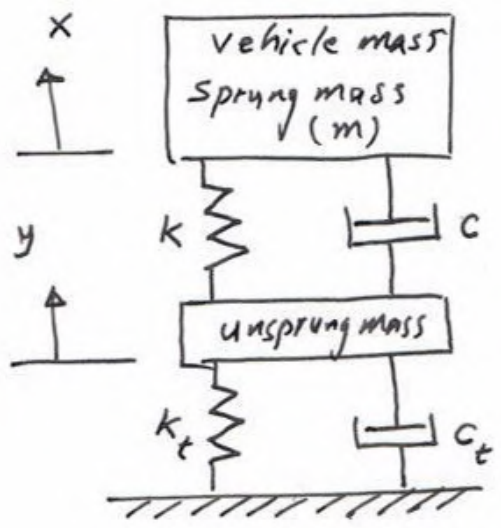
The body motion will be the sum of oscillation about the two centers. Usually the o.c. that lies outside of the wheelbase is called (bounce center) & the associated natural frequency is called (bounce frequency). The o.c. that lies inside of wheelbase is called (pitch center) & the associated natural frequency called (pitch frequency).

$l_1 \cdot l_2 = r_j^2$ \rightarrow $l_{o2} = l_1$; $l_{o1} = l_2$

TWO - Degrees - of - Freedom Model

١٥٢١
١٤/١/٢٠٢٠
١٥٢١ ①

The displacement of the vehicle body will be defined by x , whereas the displacement of the unsprung mass will be designated as y as shown in (Fig →).



Vehicle excited by the motion of the unsprung mass
(١٥ - ٢٠)

The equation of motion for the vehicle mass is now:

$$M(\ddot{x} - \ddot{y}) = -k(x - y) - c(\dot{x} - \dot{y}) \quad \text{--- (a)}$$

letting $(z = x - y)$, (Eq a) can be written as:

$$M\ddot{z} = -c(\dot{x} - \dot{y}) - k(x - y) \quad \text{--- (b)}$$

هذه المعادلة نفرض ان حركة الكتل غير المتصلة (حركة توافقية)

Transmissibility is defined as the ratio of the transmitted force to the ratio of the exciting force.

Because in this case the exciting force is provided by the unsprung mass & tire, and as such is proportional to the displacement of the unsprung mass, The transmissibility

is given by:

$$TR = \left| \frac{X}{Y} \right| = \sqrt{\frac{1 + \left(2\zeta \frac{\omega}{\omega_n}\right)^2}{\left[1 - \left(\frac{\omega}{\omega_n}\right)^2\right]^2 + \left[2\zeta \frac{\omega}{\omega_n}\right]^2}} \quad \text{--- (c)}$$

ω - natural frequency of the unsprung mass system
 ω_n - " " " " vehicle " "

Dynamic index $DI = \frac{r_y^2}{l_1 \cdot l_2}$

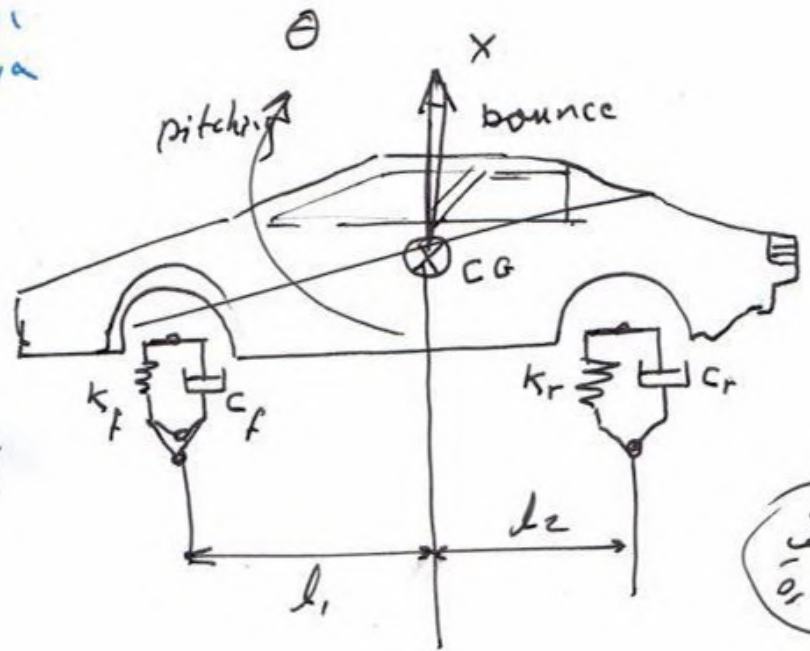
r_y - radius of gyration of vehicle

$$r_y = \sqrt{\frac{I}{M}} \quad \text{--- } (*)$$

$$\begin{bmatrix} m & 0 \\ 0 & m \cdot r_y^2 \end{bmatrix} \begin{Bmatrix} \ddot{x} \\ \ddot{\theta} \end{Bmatrix} + \begin{bmatrix} c_f + c_r & c_f \cdot l_1 - c_r \cdot l_2 \\ c_f \cdot l_1 - c_r \cdot l_2 & c_f \cdot l_1^2 + c_r \cdot l_2^2 \end{bmatrix} \begin{Bmatrix} \dot{x} \\ \dot{\theta} \end{Bmatrix} + \begin{bmatrix} k_f + k_r & k_f \cdot l_1 - k_r \cdot l_2 \\ k_f \cdot l_1 - k_r \cdot l_2 & k_f \cdot l_1^2 + k_r \cdot l_2^2 \end{bmatrix} \begin{Bmatrix} x \\ \theta \end{Bmatrix} = \begin{Bmatrix} f(t) \\ M(t) \end{Bmatrix}$$

یہ سہ
C.I.P.I.C.A

(3)



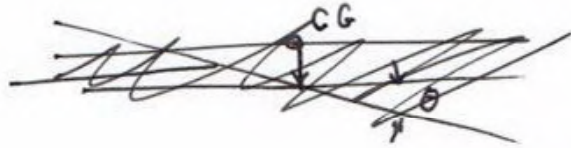
نیچ
ہلنا

By Newton's 2nd law

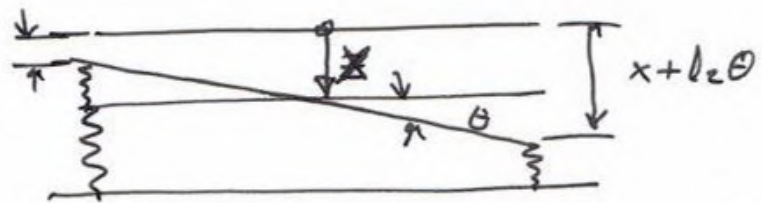
$$\sum F = m\ddot{x}$$

$$\sum M = I\ddot{\theta}$$

The eq. of bounce motion



$$m\ddot{x} = -k_f(x - l_1\theta) - k_r(x + l_2\theta) \quad \text{--- (A)}$$



& for pitching

$$I_y \ddot{\theta} = m_s \cdot r_y^2 \ddot{\theta} = k_f l_1 (x - l_1\theta) - k_r l_2 (x + l_2\theta) \quad \text{--- (B)}$$

I_y - mass moment of inertia

r_y - radius of gyration of vehicle body about y-axis

Assume

$$D_1 = \frac{1}{m_s} (k_f + k_r)$$

$$D_2 = \frac{1}{m_s} (k_r l_2 - k_f l_1)$$

$$D_3 = \frac{1}{I_y} (k_f l_1^2 + k_r l_2^2) = \frac{1}{m_s \cdot r_y^2} (k_f l_1^2 + k_r l_2^2)$$

تینوں مساویوں سے (A) و (B) میں

$$\ddot{x} + D_1 x + D_2 \theta = 0 \quad \text{--- (C)}$$

$$\ddot{\theta} + D_3 \theta + \frac{D_2}{r_y^2} x = 0 \quad \text{--- (D)}$$

یہاں D_2 کا نشانہ ہے۔ اس کے درمیان میں پچ اور bounce کے تعلق

Then motion couple when $(k_f \cdot l_1 = k_r \cdot l_2)$

بہذا شرط اذا اثرنا بقوة في CG تمتلك حركة عمودية فقط
واذا قوة خارج CG تمتلك حركة تآرجحية فقط

نفس هذه الحالات تنطبق على الترددات الطبيعية للمركب المنفصلين من بعض

$$\omega_{n_x} = \sqrt{D_1}$$

— (E)

$$\omega_{n_\theta} = \sqrt{D_3}$$

— (F)

من هذه الترددات الصفرية

هذا المبدأين (A) و (B) هو

$$x = X \cos \omega t$$

— (G)

$$\theta = \Theta \cos \omega t$$

— (H)

X - amplitude of bounce motion
pitch "

(C) -

تبعاً في (G) و (H) في (C) و (D) يعني بعد الاشارة برتقالي

$$(D_1 - \omega_n^2)X + D_2\Theta = 0 \quad \text{--- (I)}$$

$$\left(\frac{D_2}{r_{y2}}\right)X + (D_3 - \omega_n^2)\Theta = 0 \quad \text{--- (J)}$$

بعد هاتين المعادلتين في (K)

$$\omega_n^4 - (D_1 - D_3)\omega_n^2 + (D_1 D_3 - \frac{D_2^2}{r_{y2}^2}) = 0 \quad \text{--- (K)}$$

من (K) في (L) ترددات طبيعيين

$$\omega_{n1}^2 = \frac{1}{2}(D_1 + D_3) - \sqrt{\frac{1}{4}(D_1 - D_3)^2 + \frac{D_2^2}{r_{y2}^2}} \quad \text{--- (L)}$$

$$\omega_{n2}^2 = \frac{1}{2}(D_1 + D_3) + \sqrt{\frac{1}{4}(D_1 - D_3)^2 + \frac{D_2^2}{r_{y2}^2}} \quad \text{--- (M)}$$

وهذه الترددات الطبيعيين للمركب (العمودية و التآرجحية) يتبعها خارج تسمى

الترددات الطبيعية ω_{n_x} و ω_{n_θ}

$$\omega_{n1}^2 = \frac{1}{2}(D_1 + D_3) - \sqrt{\frac{1}{4}(D_1 - D_3)^2 + \left(\frac{D_2}{r_y}\right)^2}$$

$$= 46.6 \text{ sec}^{-2}$$

$$\therefore \omega_{n1} = 6.83 \text{ s}^{-1}$$

$$\text{or } f_{n1} = \frac{\omega_{n1}}{2\pi} = 1.09 \text{ Hz}$$

$$\omega_{n2}^2 = \frac{1}{2}(D_1 + D_3) + \sqrt{\frac{1}{4}(D_1 - D_3)^2 + \left(\frac{D_2}{r_y}\right)^2}$$

$$= 84.7 \text{ sec}^{-2}$$

$$\therefore \omega_{n2} = 9.2 \text{ sec}^{-1}$$

$$\text{or } f_{n2} = \frac{\omega_{n2}}{2\pi} = 1.46 \text{ Hz}$$

The location of oscillation centers can be determined using eqns (35) & (36)

$$\underline{\text{For } \omega_{n1}} \quad l_{o1} = \frac{z}{\omega_{n1}} = \frac{D_2}{\omega_{n1}^2 - D_1} = \frac{10.4}{46.6 - 48.7} = -4.95 \text{ m}$$

$$\underline{\text{For } \omega_{n2}} \quad l_{o2} = \frac{z}{\omega_{n2}} = \frac{D_2}{\omega_{n2}^2 - D_1} = \frac{10.4}{84.7 - 48.7} = +0.29 \text{ m}$$

This indicates that one o.c. is situated at a distance of 4.95 m to the right of CG. & the other is located at distance of 0.29 to the left of CG.

amplitude ratio

(5)

$$\frac{X}{\Theta} \Big|_{\omega_{n1}} = \frac{D_2}{\omega_{n1}^2 - D_1} \quad \text{--- } (*)$$

تبدیل شود
اشیا است
مکان

$$\frac{X}{\Theta} \Big|_{\omega_{n2}} = \frac{D_2}{\omega_{n2}^2 - D_1} \quad \text{--- } (**)$$

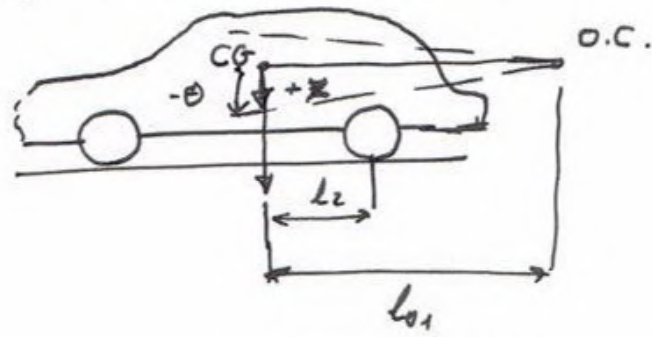
5) (oscillation center) مرکز تذبذب

ان موقع (O.C)

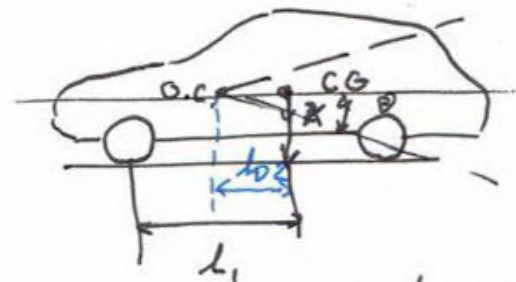
$$l_{o1} = \frac{D_2}{\omega_{n1}^2 - D_1} ; l_{o2} = \frac{D_2}{\omega_{n2}^2 - D_1}$$

از هر یک طرف آفر صفر

• if the value of (l_o) is (-)
the (O.C) will be to the right
of CG of vehicle body



• if (l_o) is (+), (O.C) will be
to left of (CG) of vehicle body



The body motion will be the sum of oscillation about
the two centers.

(*) اذا وقع O.C خارج ال (Wheelbase - l) في اليمين

ال (bounce center) والترددات الطبيعية طردية تسمى (bounce frequency)

(pitch center) في اليمين (wheel base)

(*) اما اذا وقع (O.C) داخل محور

والترددات الطبيعية طردية تسمى

(pitch frequency)

(*) افضل مكان اشار السليم لـ O.C هو عندما

$$l_1 \cdot l_2 = r_g^2 \quad \text{عندما} \quad (l_{o2} = l_1 ; l_{o1} = l_2)$$

وهذا يتحقق

عندما

موضع المثلث نحو الشفاقات

EX: Determine the pitch & bounce frequencies & the location of oscillation centers of an automobile with the following data: 15.15

spring mass = 1500 kg

radius of gyration $r_y = 1.2$ m

distance between front axle & CG = 1.4 m

" " rear " & CG = 1.7 m

front spring stiffness $K_f = 35 \text{ kN.m}^{-1}$

rear " " $K_r = 38 \text{ kN.m}^{-1}$

Then determine the amplitude ratios $\frac{Z}{H}$ for each natural frequencies.

Solution The constants D_1 , D_2 & D_3 are first calculated as follows:

$$D_1 = \frac{K_f + K_r}{m_s} = \frac{35000 + 38000}{1500} = 48.7 \text{ sec}^{-2}$$

$$D_2 = \frac{K_r l_2 - K_f l_1}{m_s} = \frac{38000 \times 1.7 - 35000 \times 1.4}{1500} = 10.4 \text{ m.s}^{-2}$$

$$D_3 = \frac{K_f l_1^2 + K_r l_2^2}{m_s r_y^2} = \frac{35000 \times 1.4^2 + 38000 \times 1.7^2}{1500 \times 1.2^2} = 82.6 \text{ sec}^{-2}$$

$$\left(\frac{D_2}{r_y}\right)^2 = 75.1 \text{ sec}^{-4}$$

$$D_3 + D_1 = 131.3 \text{ sec}^{-2}$$

$$D_3 - D_1 = 33.9 \text{ sec}^{-2}$$

The natural frequencies can be obtained as:

بجدة قبة
مد لورا
شبان
Sheet

⊗ vibration due to engine unbalance

The reciprocating parts of the engine may cause vibration of an automobile due to the periodic disturbances which is of the type

$$F(t) = F_0 \sin \omega t + F_1 \sin 2\omega t + \\ + F_3 \sin 3\omega t + \dots$$

The 1st term on the right hand side is responsible for primary unbalance and all other terms constitute higher harmonics. To minimize the above effect, the engine is normally mounted on shock absorbers which may be assumed to consist of linear spring & viscous damper. Then the engine can be considered as a single (d.o.f) system

problems in vibration

①

H.W

Ex 1

An engine of mass 500 kg is mounted on an elastic foundation of equivalent stiffness 7×10^5 N/m. Determine the natural frequency of the system

Sol.

$$\omega_n = \sqrt{\frac{k}{m}} = \sqrt{\frac{7 \times 10^5}{500}} = 37.4 \text{ rad/sec.}$$

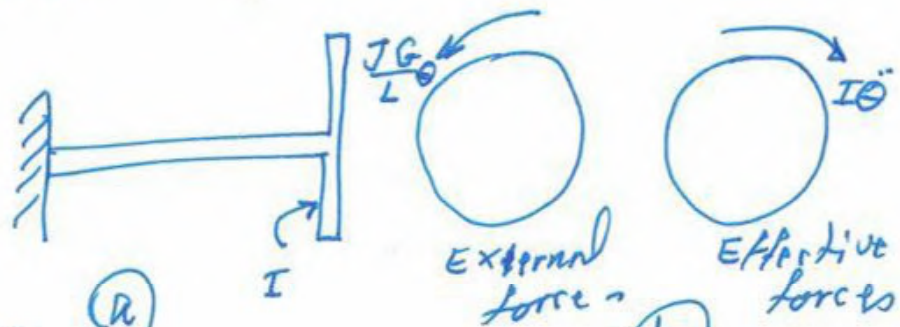
$$f_n = \frac{\omega_n}{2\pi} = 5.96 \text{ Hz}$$

H.W

Ex 2

A wheel is mounted on a steel shaft ($G = 83 \times 10^9$ N/m²) of length (1.5 m) & radius ~~2.3~~ 0.8 cm. The wheel is rotated (5°) and released. The period of oscillation is observed as (2.3 sec). Determine the mass moment of inertia of the wheel.

Sol.



$$\left(\sum M_o \right)_{\text{ext.}} = \left(\sum M_o \right)_{\text{eff.}}$$

$$- \frac{JG}{L} \theta = I \ddot{\theta}$$

$$I \ddot{\theta} + \frac{JG}{L} \theta = 0$$

$$/ I \Rightarrow \ddot{\theta} + \frac{JG}{IL} \theta = 0$$

$$\therefore \omega_n = \sqrt{\frac{JG}{IL}}$$

~~Phc & Phc~~

2

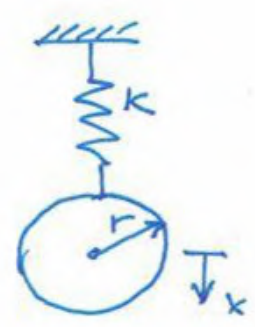
between $\therefore \omega_n = \frac{2\pi}{T} = \frac{2\pi \text{ rad/sec.}}{2.3} = 2.73 \frac{\text{rad}}{\text{sec.}}$

thus the moment of inertia of the wheel is calculated from

$$I = \frac{JG}{L \cdot \omega_n^2} = \frac{\frac{\pi}{2} (0.008 \text{ m})^4 (83 \times 10^9 \frac{\text{N}}{\text{m}^2})}{(1.5 \text{ m}) (2.73 \frac{\text{rad}}{\text{s}})^2} = 47.8 \text{ kg} \cdot \text{m}^2$$

Exo A sphere of radius (r) and mass (m) is attached to a spring of stiffness (k) - Fig below. The assembly is placed in a highly viscous fluid of dynamic viscosity (μ) and mass density (ρ) . The sphere is displaced from its equilibrium configuration and released from rest. Derive the D.E. governing the resulting oscillations about the equilibrium position. Note that the drag force on the sphere from the fluid is $(D = 2\pi r \mu v)$, where v is the velocity of sphere.

Sol. When the system is in equilibrium, a balance exists between the gravity force, the buoyant force & spring force.



$$[mg - F_B - k \cdot \delta_{st} = 0]$$

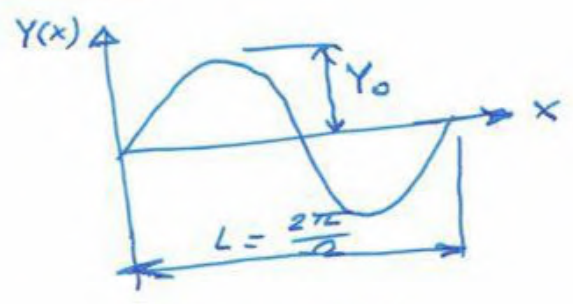
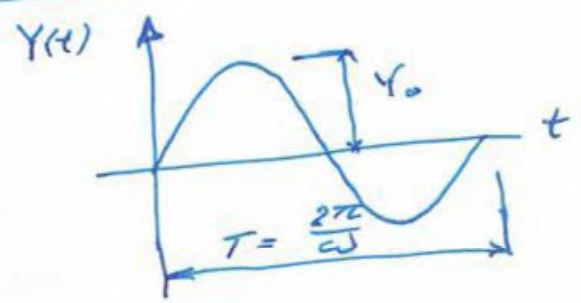
في حالة التوازن يوجد توازن بين قوة الجاذبية، القوة الطافية وقوة الزنبرك

تبلها صخره
مفرده لفرق الاستوائيه

* Irregularities of the road

- ① harmonic road ← غير موجود عمليا
- ② arbitrary road ← التوافق نحو الاستوائيه
لعدم الاستوائيه

1
* Harmonic Behaviour for irregularities



due to time $\omega, \omega > \omega_0$

$$Y(t) = Y_0 \sin \omega t = Y_0 \sin \omega t = Y_0 \sin \left(\frac{2\pi}{T} \right) \cdot t \quad \text{--- (76)}$$

where Y_0 - amplitude
 ω - excitation angular frequency rad/sec.
 T - period [s]

& due to distance

$$Y(x) = Y_0 \sin \Omega x = Y_0 \sin \left(\frac{2\pi}{L} \right) x \quad \text{--- (77)}$$

Ω - angular frequency due to wave length [rad/s]
 L - wave length of road [m]

* if v is const. $\therefore x = vt$

عندئذ يكون
 وعبارة المعادلتين (77, 76)

$$\omega t = \Omega x \quad \text{--- (79)}$$

$$\omega \frac{x}{v} = \Omega x \Rightarrow \omega = \Omega v = \left(\frac{2\pi}{L} \right) v \quad \text{--- (80)}$$

فهي صافه لونه L ثابتة فانه ω يتزداد مع زياده v .

of abysicle model on harmonic road:

أمامي $Y_f(t) = Y_0 \sin \omega t$ — (81)
 (أمامي) $Y_f(t) = Y_0 \sin \omega t$

خلفي $Y_r(t) = Y_0 \sin \omega(t - \Delta t)$ — (82)
 (خلفي) $Y_r(t) = Y_0 \sin \omega(t - \Delta t)$

if $v = \text{const.} \Rightarrow \Delta t = \frac{L}{v}$

$\omega \Delta t = 0, 2\pi, 4\pi, \dots$ * في الفترات الزمنية

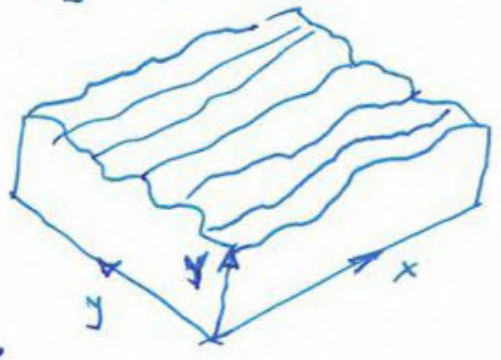
$[Y_f = Y_r]$ سيحدث تأخر عمودي فقط (bounce) وسيكون \sim

$\omega \Delta t = \pi, 3\pi, 5\pi, \dots$ * إذا كانت

$[Y_f = -Y_r]$ سيحدث تأخر عمودي فقط (pitch) \sim

* إذا كان في الارتفاعات غير متساوية $[Y_f \neq Y_r]$ سيحدث بركشة في آن واحد (pitch & bounce)

2 Arbitrary road
 (عشوائية)
 (عشوائية)
 (عشوائية)



$Y = Y(x, y)$ — (83)

وهذا يعني ان ارتفاع عدم الاستوائية Y دالة لكل x في اتجاه السير والحد y .

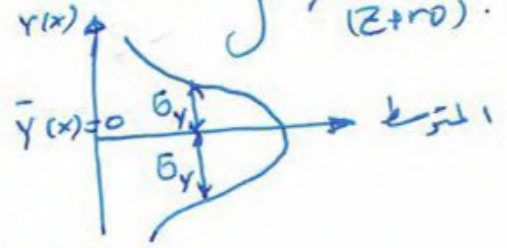
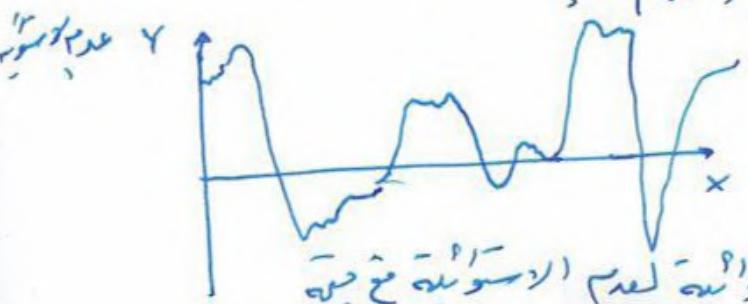


2.1 Irregularity of road due to one wheel

يعبر عن كفاءة الاستوائية لعدم استوائيتها في اتجاه السير $Y = Y(x)$

$Y = Y(x)$ — (84)

const.
 * arbitrary function of middle value $(Z+ro)$.



الدالة الاستوائية لعدم الاستوائية مع قيمة متوسطة صفرية